



DIPLOMATERVEZÉSI FELADAT

Veress Gábor

Villamosmérnök hallgató részére

Keretrendszer energetikai felügyeletelez

A villamosenergetikai rendszerekben egyre inkább elvárássá válik, hogy a felhasználóhoz közeli hálózatrészeken is távolról felügyelhető, és vezérelhető elemeket, például távolról is vezérelhető kismegszakítókat telepítsenek. A hatékonyúság és a biztonság növelése egyaránt célja lehet az ilyen fejlesztéseknek.

Az ebben rejlő lehetőségek megvizsgálására érdemes olyan keretrendszert kidolgozni, melyben mérésre és beavatkozásra képes kis bonyolultságú végponti elemeket egy adatbázissal támogatott monitorozó komponenssel kötünk össze. Az adatgyűjtés eredményét egy felügyeleti logika dolgozhatja fel, és ennek döntéseit a végpontokat vezérlő információként használhatjuk fel. A teszteléshez és a hatások elemzéséhez a végponti elemek működésének és bemeneteinek szimulációjára is szükség van.

A rendszer stabilitásának növeléséhez célszerű a komponenseket konténer-környezetben futtatni, és a redundanciájukat, illetve skálázhatóságukat biztosítani.

A hallgató feladatai a következők:

- Tekintse át az egyszerű energetikai eszközök felügyeletét ellátó megoldásokat!
- Azonosítsa a szükséges komponenseket, és tervezze meg a keretrendszert!
- Valósítsa meg a monitorozás, az adattárolás, és a felügyeleti logika komponenseit és azok kommunikációját, figyelembe véve az alapvető biztonsági elvárásokat is!
- Készítsen skálázható, konténeralapú komponenseket, és hangolja össze az elemek működését Kubernetes segítségével!
- Alkalmazzon redundanciát a hálózatban is, és javasoljon megoldást a végponti elemek megbízható kezelésére!
- Dolgozzon ki a működés tesztelésére alkalmas szkenáriókat, melyek pillanatnyi állapotokat, vagy időzített változásokat szimulálnak, és ezek segítségével értékelje a rendszer működését hibamentes állapotban, és egyes egyszerű hibák esetében!

Tanszéki konzulens: Dr. Zsóka Zoltán docens

Külső konzulens:

Budapest, 2025. március 3.

Dr. Imre Sándor
egyetemi tanár
tanszékvezető

Konzulensi vélemények:

Tanszéki konzulens: Beadható, Nem beadható, dátum:

aláírás:

Külső konzulens: Beadható, Nem beadható, dátum:

aláírás:



Budapesti Műszaki és Gazdaságtudományi Egyetem

Villamosmérnöki és Informatikai Kar
Hálózati Rendszerek és Szolgáltatások Tanszék

Keretrendszer energetikai felügyeletéhez

DIPLOMATERV

Készítette
Veress Gábor

Konzulens
dr. Zsóka Zoltán

2025. november 19.

Tartalomjegyzék

Kivonat	i
Abstract	ii
1. Bevezetés	1
1.1. Motiváció és ipari környezet	1
1.2. A dolgozat célkitűzései	1
2. Meglévő megoldásokkal összehasonlítása	3
2.1. Meglévő ipari megoldások	3
2.1.1. Schneider Power Monitoring Expert	3
2.1.1.1. Alapfunkciók	3
2.1.1.2. Előnyök	4
2.1.2. Siemens SIMATIC Energy Suite	4
2.1.2.1. Alapfunkciók	4
2.1.2.2. Előnyök	4
2.2. Nyílt forráskódú és közösségi megoldások	5
2.2.1. Home Assistant	5
2.2.2. OpenEnergyMonitor (Emoncms)	5
2.3. A vizsgálat tanulságai és a tervezési követelmények	6
3. Keretrendszer	8
3.1. Standardizált rendszer és követelményei	8
3.1.1. Áttekintés	8
3.1.2. Tervezési célok és követelmények	8
3.1.3. Kubernetes implementáció és komponensek	8
3.1.3.1. Control Server (Vezérlő)	9
3.1.3.2. ESP8266 Szenzor	9
3.1.3.3. Adattárolás és Vizualizáció	9
3.2. Rendszerarchitektúra áttekintése	10
3.3. Eszközök	11
3.3.1. ESP8266 és AC árammérő szenzorok	11
3.3.2. Mért eszközök	12
3.4. Kommunikáció	14
3.4.1. ESP8266 és Szerver között (Wi-Fi és REST API)	14
3.4.2. Modbus	15
4. Max–min fair (water-filling) elosztás	16

4.1.	Elméleti háttér és cél	16
4.1.1.	A szabályozási feladat és definíciók	16
4.1.2.	Motiváció és cél	16
4.1.3.	Definíció (max–min fair)	16
4.1.4.	Feltöltés (water-filling)	17
4.1.5.	Algoritmus és bonyolultság	17
4.1.6.	Tulajdonságok	17
4.2.	A vezérlőben alkalmazott megvalósítás	18
4.2.1.	Kapcsolat a rendszer komponenseivel	18
4.2.2.	Példák	18
4.2.3.	Implementációs részletek	18
4.2.4.	Alternatív allokációs stratégiák	18
5.	Komponensek megvalósítása	20
5.1.	Végpontok	20
5.1.1.	Autótöltő	20
5.1.1.1.	Hardver	20
5.1.1.2.	Szoftver	21
5.1.1.3.	Modbus kommunikáció vezérléshez	22
5.1.2.	Megszakító	22
5.1.2.1.	Hardver	22
5.1.2.2.	Szoftver	22
5.2.	Kontroll szerver	23
5.3.	Adatbázis	23
5.3.1.	Prometheus adatgyűjtés kezelése	24
5.3.2.	Prometheus lekérdezések kezelése	24
5.4.	Grafana alapú megjelenítés	25
5.4.1.	Az áramok vizualizálása és riasztások a Grafanában	25
5.4.1.1.	A Dashboard	26
6.	A vezérlési késleltetés és a rendszer-reakciódő elemzése	28
6.1.	Bevezetés: A reakciódő kritikus szerepe	28
6.2.	A vezérlés komponenseinek késleltetése	28
6.3.	A fő késleltetési tényezők	29
6.4.	Védelmi beállítások késleltetések alapján	30
6.5.	Következtetések	30
7.	Kubernetes integráció	31
7.1.	Bevezetés	31
7.2.	A Docker Compose és Kubernetes áttekintése	31
7.3.	Rendszerarchitektúrája	32
7.4.	A Docker Compose beállítások konvertálása Kubernetes manifeszteké	33
7.4.1.	Névtér- és konfigurációkezelés	33
7.4.2.	Deployment-ek és Service-ek	33
7.4.3.	Perzisztens tárolók kezelése	33
7.4.4.	Szolgáltatások elérhetővé tétele és hálózati konfiguráció	34
7.4.5.	Telepítés és tesztelés	34
7.5.	Nagy elérhetőségű rendszer implementációja	34

7.5.1. Replikák megvalósítása	35
7.5.2. KubeADM	36
8. Szöveges interfések a szimulációhoz	37
8.1. Cél és áttekintés	37
8.2. Bemeneti szövegfájlok	38
8.2.1. thresholds.txt – küszöbök és maximum megengedhető áram	38
8.2.2. esp{x}_schedule.txt – idősoros bemenet	38
8.3. sim_control.txt – futtatási állapot	38
8.4. Kimeneti szövegfájl	38
8.4.1. output.txt – idősoros kimenet	38
8.5. Időkezelés és futtatás	39
8.6. Reprodukálhatóság és feldolgozhatóság	39
8.7. Rövid példa – beállítás → kimenet	39
9. Fejlesztői panel (Dev Panel)	41
9.1. Cél és szerep	41
9.2. Architektúra áttekintése	41
9.3. Fő funkciók és munkamenet	41
9.4. Backend API (elérések)	42
9.5. Biztonsági és korlátok	42
9.6. Kiterjeszthetőség	42
9.7. Dev Panel módosítások	43
9.7.1. Motiváció és cél	43
9.7.2. Fő fejlesztések	43
9.7.3. Felépítés és API változások	44
9.7.4. UI szervezés (<i>Scenarios</i> kártya)	44
9.7.5. Használati munkafolyamat	45
10. Rendszertesztek és bemutató szcenáriók	47
10.1. Tesztek megvalósítása	47
10.2. Bemenetek és állapot	48
10.3. Várt viselkedés	48
10.4. Szcenáriók és elfogadási kritériumok	49
10.4.1. Alaptesztek: Start/Stop/Reset/Clear	49
10.4.2. Alulterhelés: nincs korlátozás	50
10.4.3. Térhelés, azonos igények: fair 3/3/3 allokáció	52
10.4.4. Dinamikus újraelosztás: a nagy felhasználó kap teret	53
10.4.5. Megszakító hiszterézis	55
10.4.6. Leállított mód (STOPPED)	57
11. Összefoglalás és kitekintés	60
Ábrák jegyzéke	62
Táblázatok jegyzéke	63
Irodalomjegyzék	63

HALLGATÓI NYILATKOZAT

Alulírott *Veress Gábor*, szigorló hallgató kijelentem, hogy ezt a diplomatervet meg nem engedett segítség nélkül, saját magam készítettem, csak a megadott forrásokat (szakirodalom, eszközök stb.) használtam fel. minden olyan részt, melyet szó szerint, vagy azonos értelemben, de átfogalmazva más forrásból átvettettem, egyértelműen, a forrás megadásával megjelöltetem.

Hozzájárulok, hogy a jelen munkám alapadatait (szerző(k), cím, angol és magyar nyelvű tartalmi kivonat, készítés éve, konzulens(ek) neve) a BME VIK nyilvánosan hozzáférhető elektronikus formában, a munka teljes szövegét pedig az egyetem belső hálózatán keresztül (vagy autentikált felhasználók számára) közzétegye. Kijelentem, hogy a benyújtott munka és annak elektronikus verziója megegyezik. Dékáni engedélyteljes titkosított diplomatervek esetén a dolgozat szövege csak 3 év elteltével válik hozzáférhetővé.

Budapest, 2025. november 19.

Veress Gábor
hallgató

Kivonat

Az elosztott villamosenergia-felhasználás (elektromos járműtöltők, lokális termelők, intelligens fogyasztók) gyors terjedése új követelményeket támaszt a villamos energia elosztó hálózattal szemben. A dolgozat egy olyan, nyílt forrású és konténerizált keretrendszeret mutat be, ami kis költségű eszközöket (ESP8266 alapú mérő), egy Python-alapú vezérlőt, idősoros adatkezelést (Prometheus) és vizualizációt (Grafana) integrál egy egységes megoldásba. A cél egy könnyen reprodukálható és testreszabható rendszer megvalósítása, ami képes valós idejű felügyeletre és korlátos erőforrások kezelésére.

A javasolt architektúra a mérést és a vezérlést átlátható interfészeken mutatja. A végpontok áramértékeit exportálnak Prometheus-kompatibilis metrikákként. A kontrollszervert (Python/Flask) REST API-n keresztül fogadja a méréseket, majd ipari környezetben elterjedt protokollon, Modbus/TCP-n keresztül hajt végre beavatkozásokat az energetikai eszközökön. A rendszer komponensei konténerekben futnak, fejlesztői környezetben Docker Compose biztosítja az orkesztrációt, míg nagyobb rendelkezésre állási igény esetén Kubernetes alkalmazható.

A rendszer kulcseleme egy max-min fair allokációs elv, ami egy előre rögzített globális áramkeretet tartat be több fogyasztó között. Ez a kisebb igényeket preferálja, majd a fennmaradó kapacitást olyan módon osztja szét, hogy a fogyasztás összege kiegyenlítődjön. Ez a megközelítés determinisztikus, egyszerűen paraméterezhető, és jól illeszthető valós idejű döntésekhez. A szabályozó a mérésekből származó idősoros adatokon dolgozik, és szabályok mentén (időablakok, prioritások, határértékek) állítja elő a beavatkozási parancsokat.

A megvalósítást szimulációs környezetben próbáltam. Itt ESP8266-alapú végpont gyűjtött terhelési adatokat valós idejű vizualizációval, miközben a kontroll-komponens dinamikusan korlátozta a fogyasztókat a megadott áramkeretre. A szimuláció determinisztikus bemenetekkel (küszöbök, ütemezések, vezérlési szkriptek) engedte meg különböző terhelési profilkot és hibaesemények létrehozását, az algoritmus stabilitásának és működésének vizsgálatára. A tapasztalatok szerint a rendszer képes a keretek pontos követésére, a túllépések gyors csillapítására és az erőforrások igazságos elosztására.

A dolgozat hozzájárulásai a következők: (i) egységesített, Prometheus kompatibilis mérési interfész energetikai rendszerekhez (ii) max-min fair elosztást megvalósító vezérlő (iii) konténer-alapú referenciaimplementáció Docker Compose és Kubernetesben (iv) Grafana alapú üzemetiteli és diagnosztikai irányítópultok (v) reprodukálható tesztkörnyezet. A keretrendszer akár ipari célokra is alkalmas, költséghatékony alternatívát kínál a zárt, gyártóspecifikus megoldásokkal szemben.

Abstract

The rapid spread of distributed electricity use (electric vehicle chargers, local producers, smart consumers) places new demands on the electricity distribution network. The thesis presents an open source and containerized framework that integrates low-cost devices (ESP8266-based meter), a Python-based controller, time series data management (Prometheus) and visualization (Grafana) into a single solution. The goal is to implement an easily reproducible and customizable system that is capable of real-time monitoring and managing limited resources.

The proposed architecture exposes measurement and control through transparent interfaces. The endpoints export current values as Prometheus-compatible metrics. The control server (Python/Flask) receives measurements via REST API, then performs commands on energy devices via Modbus/TCP, a protocol common in industrial environments. The system components run in containers, Docker Compose provides orchestration in the development environment, while Kubernetes can be used in cases of higher availability requirements.

The key element of the system is a max-min fair allocation principle, which maintains a pre-set global power limit among multiple consumers. This prefers smaller demands, then distributes the remaining capacity in such a way that the amount of consumption is balanced. This approach is deterministic, easily parameterizable, and well suited to real-time decisions. The controller works on time-series data from measurements and generates intervention commands based on rules (time windows, priorities, limit values). I tried the implementation in a simulation environment. Here, an ESP8266-based endpoint collected load data with real-time visualization, while the control component dynamically limited the consumers to the specified power frame. The simulation allowed the creation of different load profiles and fault events with deterministic inputs (thresholds, schedules, control scripts), to test the stability and operation of the algorithm. According to the experience, the system is able to accurately track the frames, quickly mitigate overshoots, and fairly allocate resources.

The contributions of the thesis are as follows: (i) a unified, Prometheus-compatible metering interface for energy systems (ii) a controller implementing max-min fair allocation (iii) a container-based reference implementation in Docker Compose and Kubernetes (iv) Grafana-based operational and diagnostic dashboards (v) a reproducible test environment. The framework is suitable even for industrial purposes and offers a cost-effective alternative to closed, manufacturer-specific solutions.

1. fejezet

Bevezetés

Az elmúlt évtizedben az energetikai szektor, és különösen a villamosenergia-rendszer, alapvető változásokon ment keresztül. A megújuló energiaforrások - elsősorban a nap- és szélenergia - exponenciális terjedése, valamint az elektromobilitás megjelenése új kihívások elé állította a hálózatüzemeltetőket. A hagyományos, egyirányú energiaáramlásra méretezett hálózatoknak ma már dinamikus, kétirányú terheléseket kell kezelniük, ahol a fogyasztás és a termelés egyensúlya folyamatosan ingadozik.

A jövő energetikája adatvezérelt: a mérés, az adatfeldolgozás és a beavatkozás ciklusidejének drasztikus csökkenése a kulcs a fenntartható üzemeteltetéshez.

1.1. Motiváció és ipari környezet

Az épületautomatizálás és az ipari folyamatirányítás területén jelenleg egy érdekes kettősség figyelhető meg. A piacon domináns nagyvállalati megoldások (például Siemens, Schneider Electric) robusztus, szabványosított hardvert és softvert kínálnak. Ezek a rendszerek zárt ökoszisztemákra épülnek. Magas licencköltségeik, egyedi kommunikációs protokolljaik és a gyártói függőség gyakran gátat szabnak a kisebb felhasználóknak.

Ezzel párhuzamosan, az Ipar 4.0 rendszerek részeként, az olcsó mikrokontrolerek és beágyazott rendszerek ma már olyan számítási kapacitással és kommunikációs képességekkel rendelkeznek, amelyek néhány éve még csak drága ipari PC-k kiváltásáig voltak. Ez a technológiai demokratizálódás teremt alapot dolgozatom motivációjának: lehetséges-e ipari szemléletű, megbízható felügyeleti rendszert építeni ezen költséghatékony, nyílt eszközök felhasználásával?

1.2. A dolgozat célkitűzései

Jelen diplomaterv célja egy olyan moduláris, nyílt forráskódú keretrendszer tervezése és megvalósítása, amely alternatívát kínál a drága ipari megoldásokkal szemben kutatási és fejlesztési célokra. A rendszernek képesnek kell lennie a teljes mérésibeavatkozási lánc kezelésére.

A megvalósítás során az alábbi konkrét célokat tűztem ki:

- **Architektúra tervezés:** Egy egységesített, konténerizált szoftverkörnyezet kialakítása a következő elemekkel idősoros adatgyűjtés (Prometheus), vezérlés (Python) és a vizualizáció (Grafana).
- **Végponti integráció:** Költséghatékony IoT eszközök (ESP8266) illesztése a rendszerbe szabványos ipari (Modbus/TCP) és webes (REST API) protokollokon keresztül.
- **Algoritmikus vezérlés:** A water-filling allokációs algoritmus implementálása.
- **Validáció és vizualizáció:** A rendszer működésének igazolása valós idejű mérésekkel, valamint egy átlátható kezelőfelület létrehozása az üzemeltető számára.

A dolgozat bemutatja, hogy a nyílt szabványok és a modern szoftvertechnológiák megfelelő kombinációjával létrehozható egy olyan rugalmas energetikai menedzsment rendszer, amely funkcióban hasonló, mint a drágább ipari megoldásokat.

2. fejezet

Meglévő megoldásokkal összehasonlítása

2.1. Meglévő ipari megoldások

A piaci megoldások bemutatására két piacvezető gyártó, a Schneider Electric és a Siemens rendszereit választottam elemzésre.

Ezek a rendszerek bemutatása azért indokolt, mert jelenleg ők képviselik az ipari sztenderdet az energetikai felügyelet területén. Ezek adják a referenciaalapot, amelyhez viszonyítva reálisan értékelhető a dolgozatban bemutatott saját, költséghatékony fejlesztés teljesítménye és korlátai.

2.1.1. Schneider Power Monitoring Expert

A Schneider Electric kínálatából a Power Monitoring Expert szoftvert vizsgálom, ami a kritikus energiaellátású létesítmények felügyeletére készült. A rendszer célja, hogy átláthatóságot biztosítson az energiaszolgáltató hálózatban.

2.1.1.1. Alapfunkciók

- Segít csökkenteni a meddő teljesítmény termelést és az ebből keletkező büntetéseket.
- Saját számlát készít, a helyi mérések alapján, hogy összehasonlítási alap legyen a számlákhoz.
- Segít elszámolhatóságot biztosítani alszámlázáshoz.
- Berendezések teljesítményét és várható élettartamát ellenőrzi.
- Valós idejű adatfigyelés, riasztás és energiafolyamatok vezérlése a létesítményen belül.
- Azonosítja a potenciális áramminőségi problémákat a hálózatában, és értesíti erről a személyzetet.



2.1. ábra. Schneider Electric PME model[4]

2.1.1.2. Előnyök

Az energiamérési rendszer használata átlagban 24%-kal csökkentette a fogyasztást, és 30%-al a költségeket.

Mivel folyamatos megfigyelés és beavatkozás lehetséges, a problémák korai szakaszában orvosolhatóak így ezeket 22%-al lehet csökkenteni. Ez a tudatosság csökkenteni a hiba utáni visszaállítások idejét is. Ezenkívül segít a mögöttes problémák megtalálásában is.[4]

2.1.2. Siemens SIMATIC Energy Suite

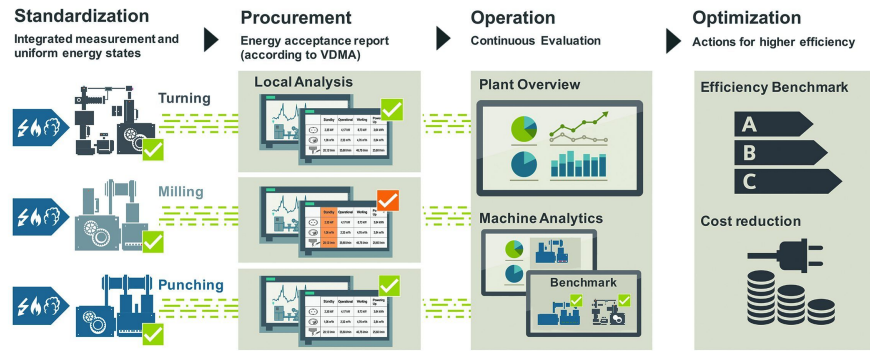
Hasonló helyzetben áll a piacon a Siemens megoldása, a SIMATIC Energy Suite, ez közvetlenül a gyártóautomatizáció környezetbe integrálódik. A rendszer hasonló funkciókkal rendelkezik mint a Schneider rendszere.

2.1.2.1. Alapfunkciók

A Siemens SIMATIC Energy Management rendszere integrált tehát nem csak megfigyelésre alkalmas hanem vezérlésre is. A már létező TIA Portal keretrendszerükbe épül és így egy helyen elérhető a többi rendszerükkel. Ez szintén egy moduláris és skálázható rendszer. Megfelel az ISO 50001 szabványnak, és ez is alkalmazható terhelés figyelésre számlázásra és rendszerelemzésre, mint az előzőleg taglalt rendszer.[17]

2.1.2.2. Előnyök

- Terepi szintű integráció saját és más eszközökkel. Figyelve itt az egyedi eszközökre.
- Gyártás szintű felügyelet. Üzem szintű energia fogyasztást lehet vele figyelni.
- Nagyobb rendszerekben vállalati szintű energiaelemzés, ahol több helyszín között is lehet felügyelni.
- Ezentúl alkalmas beavatkozásra is. Amennyiben túl nagy a fogyasztás képes fogyasztókat leválasztani távolról is akár.



2.2. ábra. Siemens EMS model[17]

2.2. Nyílt forráskódú és közösségi megoldások

Az ipari rendszerek mellett az elmúlt években megjelentek a rugalmasabb, alacsonyabb költségű, jellemzően a "Smart Home" és a kisvállalati szegmensre fókuszáló nyílt megoldások is. Ezek nem rendelkeznek ipari tanúsítványokkal, viszont egyszerűségük miatt jó összehasonlítási alapot képeznek.

2.2.1. Home Assistant

A Home Assistant jelenleg az egyik legnépszerűbb nyílt forráskódú otthonautomatizálási platform. Fő erőssége, hogy lényegében bármilyen IoT eszközöt képes integrálni, ami lehetővé teszi többek között energetikai mérők kezelését is. [21]

- **Előnyök:** Ingyenes, nagy közösség, helyi működés, vizuális felület.
- **Hátrányok:** Főként otthoni felhasználásra terveztek, az idősoros adatok hosszú távú tárolása és elemzése korlátozott, nem specifikusan energetikai szabályozásra lett kitalálva.

2.2.2. OpenEnergyMonitor (Emoncms)

Az OpenEnergyMonitor projekt kifejezetten az energetikai mérésekre specializálódott. Szoftveres központja, az Emoncms egy webes alkalmazás elektromos adatok feldolgozására és vizualizációjára. [14]

- **Előnyök:** Ez már energia-fókuszú.
- **Hátrányok:** A vezérlési funkciók nem túl hangsúlyosak. A hardveres rendszer kötöttebb.

2.3. A vizsgálat tanulságai és a tervezési követelmények

A piaci körkép alapján látható, hogy létezik egy szakadék a drága, zárt ipari rendszerek és az általános célú hobbi megoldások között. Míg az ipari eszközök garantálják a pontosságot és a szabványosságot, addig költségvonzatuk megnehezíti használatukat kisebb projekteken.

A saját rendszeremmel szemben ezért nem cél a Siemens vagy Schneider megoldásaival való közvetlen verseny. A cél egy olyan köztes megoldás létrehozása, ami ötvözi a nyílt rendszerek rugalmasságát egy ipari jellegű szabályozási logikával.

Ez alapján a saját fejlesztésű rendszerrel szemben az alábbi **elvárásokat** fogalmaztam meg:

- Modularitás és Nyíltság
- Költséghatékonyiság
- Aktív beavatkozási képesség
- Reprodukálhatóság

Összefoglalva: a tervezett rendszer a csináld magad (DIY) árkategóriában kíván megvalósítani egy, a funkcióit tekintve az ipari rendszereket megközelítő, zárt szabályozási rendszert.

Jellemző	Tervezett rendszer	Schneider PME	Siemens Energy Suite
<i>Technológiai alapok</i>			
Eszközök	ESP8266 mikrovezérlő + Áramváltó (CT)	PowerLogic / ION mérők, Smart megszakítók	S7-1500 PLC, Sentron PAC mérők
Kommunikáció	Wi-Fi (IEEE 802.11) REST API / JSON	Zárt ipari hálózat Modbus/TCP	Ipari Ethernet PROFINET
Adatbázis	Prometheus (Idősoros DB)	MS SQL Server (Relációs DB)	WinCC Archívum (Integrált)
Vizualizáció	Grafana (Webes Dashboard)	Power Monitoring Expert (Web kliens)	WinCC Professional (HMI / SCADA)
<i>Funkcionalitás és Költségek</i>			
Analitika	Alapvető mérés + Water-filling algoritmus	Energiaminőség (EN 50160), Zavarelemzés	Terhelésmenedzsment, ISO 50001 riportok
Bekerülési költség	Alacsony (< 1 000 €)	Magas (Licenc + Eszközök)	Magas (Licenc + PLC hardver)
Támogatás	Közösségi (garancia nélkül)	Gyártói 24/7 Support, Hivatalos tanúsítvány	Gyártói Support, TÜV / Szabványi garancia

2.1. táblázat. A tervezett rendszer összehasonlítása az ipari sztenderdekkel

3. fejezet

Keretrendszer

A tervezett rendszer többrétegű, moduláris felépítést követ, ez magában foglalja a fizikai végpontokat, a kommunikációs hálózatot és a felhőalapú vezérlőt is. A rendszer összetevőinek kapcsolatát a 3.2. ábra szemlélteti.

3.1. Standardizált rendszer és követelményei

3.1.1. Áttekintés

A rendszer szabványosítja az adattárolást (Prometheus), a vezérlési interfészket (REST API) és az adatvizualizációt (Grafana), ezzel egyszerűsítve az éles termelési környezetbe történő bevezetést (deployment).

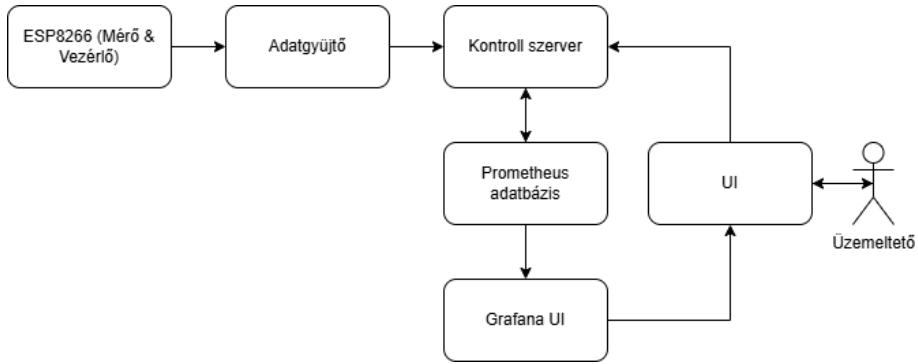
3.1.2. Tervezési célok és követelmények

A keretrendszerrel szemben támasztott legfontosabb funkcionális és nem-funkcionális követelmények az alábbiak:

- Plug-and-Play modularitás
- Szabványosított mérési API
- Központosított vezérlés
- Konténerizált környezet
- Skálázhatóság

3.1.3. Kubernetes implementáció és komponensek

A rendszer telepítése és üzemeltetése Kubernetes klaszterben történik. Ez a környezet garantálja, hogy a Python vezérlő, a végpontok, valamint a Prometheus és Grafana szolgáltatások folyamatosan elérhetők legyenek.



3.1. ábra. A keretrendszer architektúrája és Kubernetes komponensei

3.1.3.1. Control Server (Vezérlő)

A központi logikát tartalmazó Python alapú vezérlő Kubernetes Deployment formájában jön létre, amelyet egy Service tesz elérhetővé a klaszteren belül. A kommunikáció biztonságoságát a Deployment manifestjében definiált, TLS tanúsítványokat tartalmazó Secret biztosítja.

A Flask alapú REST API két fő végpontot kínál:

- `/metrics`: Ez prometheus kompatibilis formátumban mutatja az aktuális rendszerállapotot és fogyasztási adatokat.
- Vezérlő végpontok: Itt fogadja a rendszer a beavatkozásra adott parancsokat.

3.1.3.2. ESP8266 Szenzor

Az ESP8266 szenzorok és a rendszer közötti kapcsolatot mikroszolgáltatások biztosítják. Ezeket a Kubernetes Podokat HTTPS-en keresztül látja a vezérlő, ezeknek folyamatosan figyeli a `/metrics` végpontját.

Az elvárt "Plug-and-Play" működést a Kubernetes annotációi teszik lehetővé. Ha egy új eszköz kerül telepítésre akkor ennek a manifest tartalmazza a `prometheus.io/scrape: "true"` és `prometheus.io/path: "/metrics"` értékeit, a Prometheus, pedig automatikusan, új konfiguráció beállítása nélkül is fel fogja venni ezt az eszközt.

3.1.3.3. Adattárolás és Vizualizáció

Az adatbiztonság miatt a Prometheus nem egyszerű Deployment, hanem StatefulSet. Az adatbázist egy PersistentVolumeClaim segítségével tartós tárhelyre menti, így egy újraindítás után is megmaradnak az adatok. A scrape config-ot, ConfigMap-ekben lehet definiálni.

A Grafana vizualizációs felület is tartós tárhelyet használ a dashboard-ok és felhasználói beállítások mentésére.

3.2. Rendszerarchitektúra áttekintése

Az áramérzékelők (áramváltó bilincsek) mérik az elektromos áramot és az adatokat egy ESP8266 gyűjti, ezek pedig a központi vezérlőhöz táplálják, amely vezérlőparancsokat küld visszafelé az elektromos járművek töltőinek a megengedett áram beállításához.

Az ESP8266-alapú érzékelőcsomópontok minden egyik elektromos töltőnél el vannak helyezve, hogy valós időben mérjék a töltőáramot. Ezek pedig Wi-Fi-n keresztül küldik el az adatokat egy Python Flask alkalmazást futtató vezérlőhöz, amely összesíti a méréseket és kiadja a vezérlőparancsokat.

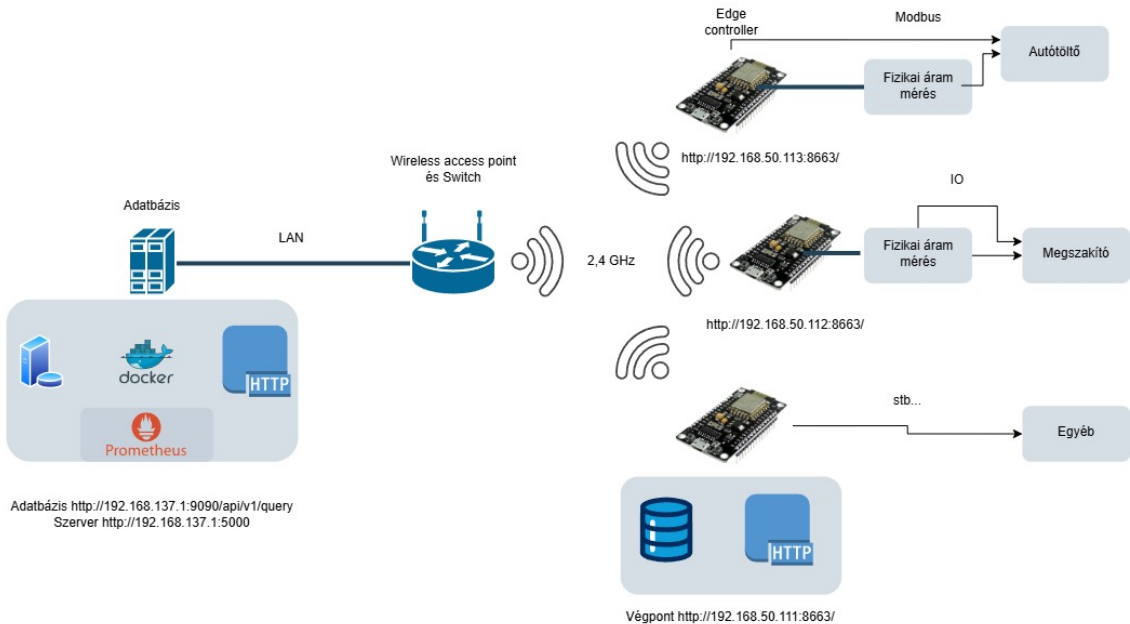
Maguk az töltők Modbus kommunikációval rendelkeznek, ezért a Modbus protokollon keresztül fogadják a távolról érkező utasításokat (esetünkben a megengedett áram beállítását). Mindegyik töltő saját címmel rendelkezik a soros hálózaton.

Az ESP8266 csomópontok csak az adatok két oldalú továbbadásáért felelősek, aktuális adatokat küldenek a szervernek, míg a Flask szerver döntéshozatalt hajt végre és parancsokat ad ki a töltőknek. Az érzékelés és a vezérlés szétválasztása leegyszerűsíti a végpont tervezését és a feldolgozást a szerver oldalon központosítja, ami növeli a robosztusságát.

A Flask szerver egy Prometheus idősoros adatbázissal dolgozik (ami külön konténer alapú szolgáltatásként fut), ez naplózza az összes mérést a megfigyeléshez és elemzéshez. Az összes kiszolgálóoldali összetevő (a Flask alkalmazás, a Modbus interfész és a Prometheus) a Docker használatával van konténerben tárolva a felhőalapú környezetben történő egyszerű telepítés érdekében. Az architektúra a következőket tartalmazza:

- **ESP8266 érzékelő csomópontok:** Wi-Fi csatlakozású mikrokontrollerek minden végponton (legyen az töltő, megszakító, stb...), amelyek a csatlakoztatott érzékelőkön keresztül mérik a váltakozó áramot.
- **Wi-Fi hálózat:** Ami biztosítja, hogy a végpontok tudjanak kommunikálni a központi szerverrel. Mindegyik csomópont csatlakozik a helyi Wi-Fi-hez és HTTPS-kéréseken keresztül adatokat küld a szerver REST API-jának.
- **Flask alapú központi szerver:** Helyi szerveren vagy cloud környezetben is futhat. Mérési adatokat fogad az ESP8266 csomópontoktól, feldolgozza és tárolja azokat és ahogy már említettem Modbus segítségével vezérlőjeleket küld az EV-töltőknek.
- **Modbus kommunikációs kapcsolat:** Összekapcsolja a végpontokat a töltőkkel. Ez esetünkben Modbus/TCP over Ethernet. A végpontok Modbus masterként működnek, és minden elektromos töltő egy Modbus slave eszköz.
- **Prometheus adatbázis:** Idősoros adatbázis, amely összegyűjti és tárolja a mért értékeket (pl. áramok, töltőállapotok, megszakító állapotok) a Flask szerverről valós idejű megfigyeléshez és későbbi elemzéshez.
- **Docker containerek:** A Flask szerver és a Prometheus Docker-tárolókban fut, így megvalósul a mikroszolgáltatás alapú összeállítás, ami akár helyi szerveren, akár modern felhő natív rendszeren jól fut. A Docker biztosítja, hogy az összes szükséges függőséget (Python-könyvtárak stb.) így megkönnyítve az

üzemeltetés dolgát, és lehetővé teszi a rendszer megbízható méretezését vagy replikálását.



3.2. ábra. Rendszerarchitektúra

3.3. Eszközök

3.3.1. ESP8266 és AC árammérő szenzorok

A pontos árammérés minden elektromos töltőnél kritikus a rendszer számára. Az ESP8266-ot (NodeMCU) aminek az io felosztása 3.5 ábrán látszik, nem invazív váltakozóáram-érzékelőkkel párosítva használjuk a megfelelő áramkörök által felvett áramerősségi mérésére. Egy megfelelő érzékelő az YHDC SCT-013 sorozatú bilincses áramtranszformátor, például az SCT-013-030 modell, ami 30 A AC feszültségre van méretezve. Az SCT-013 egy osztott magú áramváltó így könnyű a csatlakozása, ez a tápkábelnek feszültség alatt álló vezetéke köré kerül, és nincs szükség közvetlen elektromos érintkezésre a vezetővel. Ez az érzékelő a kábelben átfolyó árammal arányos kis váltakozó feszültséget ad ki. Különösen az SCT-013-030 körülbelül 0-1 V AC (effektív) kimenetet produkál 0-30 A mérésekor. [9]

Ez a feszültségtartomány kompatibilis az ESP8266 analóg-digitális átalakítójával az analóg bemenetén, amely a legtöbb ESP8266 kártyán 0-1 V-ot tud olvasni (a NodeMCU kártyák tartalmaznak beépített feszültségesztőt, amely lehetővé teszi a 3,3 V-os bemenetet). Így az SCT-013-030 0-1 V-os kimenete közvetlenül az analóg bemenetre rakható. Az SCT-013 érzékelők, amelyek feszültséggámenettel rendelkeznek, már rendelkeznek belső ellenállással, így nincs szükség további terhelésre. [13]

Mindkét esetben szükséges egy csatoló áramkör az érzékelőhöz: A CT AC kimenete 0 V ha nincsen semmi behatás, de az ESP8266 ADC nem tudja leolvasni a negatív feszültséget. Ezért kell tolunk az értékeket ehhez kell két ellenállás, amelyek feszültségesztőt alkotnak a 3,3 V-os tápegységgel, hogy az érzékelő kimenetét a



3.3. ábra. NodeMCU (ESP8266) [15]



3.4. ábra. SCT-013 áramváltó [11]

skála közepére rakjuk. Lényegében az érzékelő két vezetéke csatlakozik: az egyik az ADC bemenethez, a másik pedig a középponthoz körülbelül 1,65 V a 3,3 V-os táp miatt. [13]

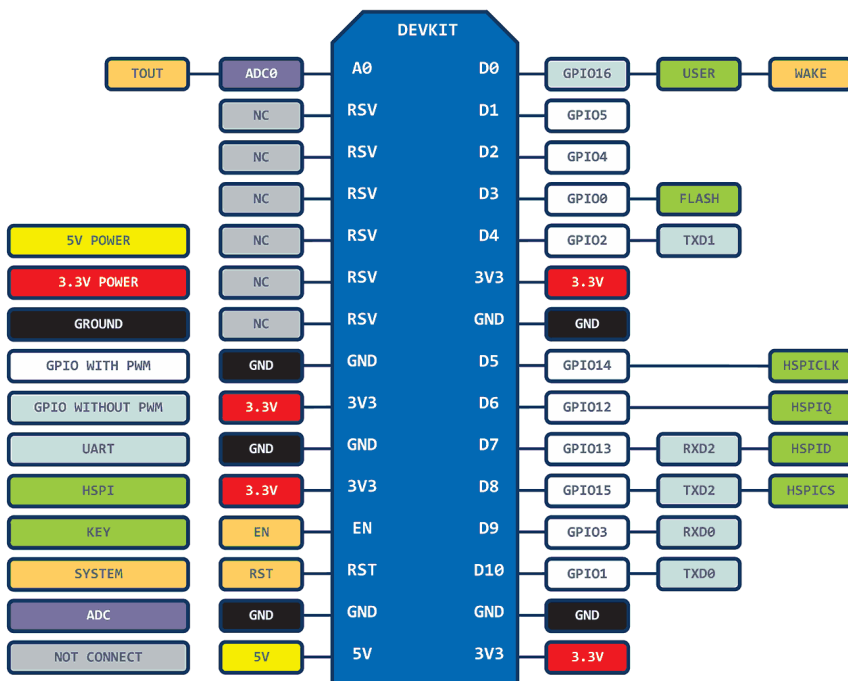
Mindegyik ESP8266 tápellátást kap lehetőleg 5 V-os USB-adapterrel az EV-töltő kiegészítő tápellátásával és az analóg bemeneten keresztül olvassa le a CT-érzékelőjét. A mikrokontroller a megírt kódot futtatja, csatlakozik a Wi-Fi-hez, és folyamatosan méri az áramerősséget. Ezt úgy küldi a szervernek, hogy már könnyű legyen prometheusnak tovább küldeni.

3.3.2. Mért eszközök

A rendszer a hálózat különböző pontjain elhelyezkedő és akár eltérő funkciójú eszközök felügyeletét látja el. Mivel az egyes eszközök működése eltér, a monitorozás során gyűjtött paraméterek is eszerint változnak.

A rendszer az alábbi eszközöket és adatpontokat különbözteti meg:

- **Megszakítók:**



3.5. ábra. Pinout [8]

- Pillanatnyi áramerősség
- Állapotjelzés
- Hibajel
- Túlterhelés figyelmeztetések

- **Autótöltők:**

- Pillanatnyi áram
- Állapot (csatlakoztatva, tölt, hiba, stb...)

- **Szekrények:**

- Hőmérés
- Gázelemzés (füst érzékelés)

A mérések egy mikrokontrollerbe vannak beprogramozva, sok esetben, hogy a megfelelő és helyileg feldolgozható jelet kapjunk valamilyen hardverre van szükség, ez átalakítja az eredeti jelet. Ilyen például az áram méréséhez használt áramváltó és sűrű ellenállás, jellemzően a nagyobb áramokat 5 A-re transzformáljuk egy áramváltóval.

Esetünkben maga az ESP8266 chip az analóg bemenetén 0 és 1 volt közötti jelszintet vár, viszont a nodeMCU környezet már végez az áramkörön feszültség áttalakítást így a bemeneti skála változik 0 és 3,3 voltra.

Ha áramméréseket áramváltóval akarjuk megvalósítani akkor az áramváltó 5 A-es maximum kimenetét kell a kontroller 3,3 v-os maximum bemenetére alakítani. Ezt egy sűrű ellenállással tudjuk megvalósítani.

$$R = \frac{U}{I} = \frac{3.3 \text{ V}}{5 \text{ A}} = 660 \text{ m}\Omega \quad (3.1)$$

1. egyenlet: Áramméréshez használt sönt ellenállás értéke

$$P = U \times I = 3.3 \text{ V} \times 5 \text{ A} = 16.5 \text{ W} \quad (3.2)$$

2. egyenlet: A sönt ellenállás

A számítások után látszik, hogy olyan ellenállásra van szükség, ami $R = 660\text{m}\Omega$ ellenállással rendelkezik és legalább 16,5 W teljesítményt el tud diszipálni folyamatos terhelés melett is.

3.4. Kommunikáció

A rendszer kommunikációs topológiáját és az adatfolyam irányait a 3.2. ábra szemlélteti. Ezután ennek a megvalósításával folytatatom a két fő protokoll, a HTTP és a Modbus mentén.

3.4.1. ESP8266 és Szerver között (Wi-Fi és REST API)

A kommunikációhoz az ESP8266 végpontok Wi-Fi-t használnak a mérések továbbítására a vezérlő Flask szerverre. Indításkor minden ESP8266 csatlakozik a konfigurált Wi-Fi hozzáférési ponthoz. A kód első lépése a kapcsolat felépítése a konfigurált Wi-Fi hozzáférési ponttal. Ehhez az ESP8266 standard könyvtárát használtam, ahogy az alábbi firmware-részlet is mutatja:

```
(pl. WiFi.begin(ssid, jelszó))
```

[20] A csatlakozást követően a csomópont képes HTTP vagy esetünkben HTTPS kéréseket küldeni a szerver IP-címére. Egy egyszerű RESTful API-t implementáltam a Flask szerveren az adatok fogadásához. minden fizikai végpont Prometheus adatbázis jellegű kommunikációhoz is használt végponton hirdeti a mért adatait.

```
app.run(host="0.0.0.0", port=6000, ssl_context=('cert.pem', 'key.pem'))
```

3.1. lista. A Flask szerver indítása Python-ban

```
http://<szerver_ip>:6000/metrics
```

3.2. lista. Az API végpont URL struktúrája

A válaszgeneráló logika az alábbi Python kód részletben látható:

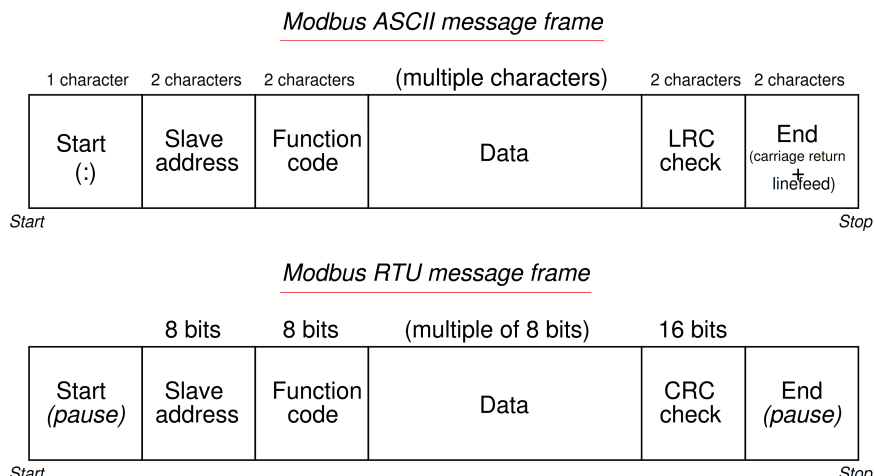
```
def metrics():
    return jsonify({
        "simulator_id": simulator_id,
        "current": current_value,
        "state": "plugged in" if charger_on else "plugged out",
        "max_current": max_current
    })
```

3.3. lista. A JSON választ generáló Python függvény

A Wi-Fi kommunikáció itt nem követeli meg, hogy az ESP8266 ismerje a szerver címét, mert csak GET parancsokat használtam. Itt a kiszolgáló fix IP-címmel rendelkezhet a LAN-ban. Elég viszont, ha a szerver ismeri a végpontok IP címeit, amit viszont könnyű megadni és frissíteni. Kezdetben titkosítatlan HTTP-t használtam, viszont ezt később frissítettem a valódi telepítési környezethez hasonló HTTPS-el. Szerencsére az ESP8266 képes kezelni a TLS-t.

3.4.2. Modbus

A vezérlő oldalon a szerver a Modbus protokollt használja az EV-töltőkkel való kommunikációhoz. A Modbus egy széles körben elterjedt protokoll az ipari rendszerekben elektronikus eszközök csatlakoztatására. Eredetileg PLC-k közötti Kommunikáció kialakítására használták. A mi beállításunkban a szerver Modbus masterként van konfigurálva, és minden EV töltő Modbus slave eszköz (Modbus/TCP). A Modbuson keresztül a szerver képes regisztereket olvasni a töltőkről, és regisztereket írni. Ezzel áttudtam írni a töltőben a maximális áramértéket amit engedélyezett. [19]



3.6. ábra. Modbus adatstruktúra [10]

A képen Modbus RTU soros kommunikáció összeállítása látszik. Ebben a rendszerben Modbus TCP rendszert használunk. Ez igazából csak annyit csinál, hogy TCP keretekbe foglalja a már előbb felsorolt kommunikációt.

4. fejezet

Max–min fair (water-filling) elosztás

4.1. Elméleti háttér és cél

4.1.1. A szabályozási feladat és definíciók

A dolgozat rendszerének fő feladata, hogy a rendelkezésre álló, korlátos villamos teljesítményt dinamikusan ossza el a fogyasztók (esetben elektromos autótöltők) között úgy, hogy a hálózat fizikai védelme ne oldjon le, így a felhasználható áramon belül maradva maximalizáljuk a lehetőségeket.

Az elosztási algoritmus ismertetéséhez, szükséges definiálni a rendszerparamétereket, amik a vezérlő működésének alapját képzik. A rendszerben két védelem stalálható:

- Fizikai korlát (BREAKER_MAX_TOTAL)
- Allokációs keret (ALLOC_MAX_TOTAL)

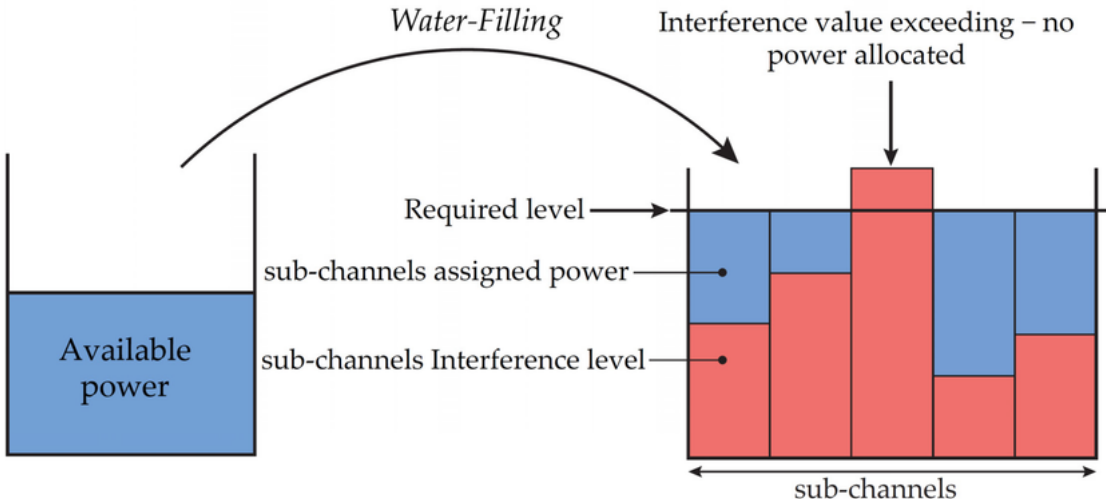
A bemutatott *max-min fair* algoritmus fő feladata tehát az, hogy a fogyasztók igényeit úgy elégítse ki, hogy összegük soha ne lépje át a szoftveres ALLOC_MAX_TOTAL keretet.

4.1.2. Motiváció és cél

A szimulált fogyasztók áramigénye (d_i) időben változik. Adott egy globális, maximum áramérték $B = \text{ALLOC_MAX_TOTAL}$ amperben, ennél a tényleges összáram nem lehet nagyobb. A cél egy olyan kiosztás a_i meghatározása, amely (i) nem lépi túl az egyes igényeket ($0 \leq a_i \leq d_i$), (ii) a teljes kereten belül marad ($\sum_i a_i \leq B$), (iii) és *fair* a kis igényűekkel szemben, azaz a kis igények teljesülnek először, a fennmaradó kapacitás pedig egyenlő alapról oszlik meg.

4.1.3. Definíció (max–min fair)

Egy $a = (a_1, \dots, a_n)$ kiosztás *max–min fair*, ha bármely más megengedett y esetén, ha létezik i úgy, hogy $y_i > a_i$, akkor létezik j olyan, hogy $a_j \leq a_i$ és $y_j < a_j$. Intuíció: csak a már *kisebb* részesedésűek rovására lehet növelni bárki juttatását. [2]



4.1. ábra. Water-filling elve telekomunikációban. [18]

4.1.4. Feltöltés (water-filling)

A max–min fair kiosztás felírható egyetlen paraméterrel:

$$a_i = \min\{d_i, \lambda\}, \quad \text{ahol } \sum_{i=1}^n \min\{d_i, \lambda\} = B. \quad (4.1)$$

A λ vízszint úgy választandó, hogy a keret pont kiteljen (vagy ha $\sum_i d_i < B$, akkor $\lambda \geq \max_i d_i$, vagyis nincs korlát).

4.1.5. Algoritmus és bonyolultság

Gyakorlati, determinisztikus eljárás (progresszív töltés):

1. Rendezzük az igényeket növekvő sorrendbe: $d_{(1)} \leq \dots \leq d_{(n)}$.
2. Iteráljuk $k = 1..n$: feltételezzük, hogy az első k igény teljesül ($a_{(i)} = d_{(i)}$, $i \leq k$), és a maradék $B_k = B - \sum_{i=1}^k d_{(i)}$ egyenlő szinten oszlik meg a még nyitott $n - k$ elemre. A jelölt vízszint: $\lambda_k = B_k/(n - k)$.
3. Ha $\lambda_k \leq d_{(k+1)}$, megtaláltuk a vízszintet: az összes hátralévő $a_{(i)} = \lambda_k$ (és a korábbiak $d_{(i)}$).
4. Ha minden $d_{(i)}$ teljesül és még marad keret, akkor nincs korlátozás: $a_i = d_i$.

A rendezés miatt az időbonyolultság $O(n \log n)$. A megvalósított vezérlőben egy ekvivalens, iteratív *progresszív* algoritmus fut, amely kis elemszámon szintén gyors és stabil.

4.1.6. Tulajdonságok

- **Egyenlő szint elve:** a λ alatti igények teljes, a λ felettiek λ -ig kapnak. Így a kis igényűek sosem szenvednek hátrányt.

- **Monotonitás:** ha a keret B nő, akkor λ nem csökken, és senki kiosztása nem csökken.
- **Határhelyzetek:** ha $\sum_i d_i \leq B \rightarrow$ nincs cap (végtelen korlát). Ha $B = 0 \rightarrow$ minden $a_i = 0$.

4.2. A vezérlőben alkalmazott megvalósítás

4.2.1. Kapcsolat a rendszer komponenseivel

A vezérlő igényekből (raw_current) számolja a limiteket a fenti elv szerint a ALLOC_MAX_TOTAL kereten. A megszakító (breaker) logika ettől független, a mért, tényleges áramhoz viszonyít (BREAKER_MAX_TOTAL, BREAKER_MIN_TOTAL) biztonsági rétegként.

4.2.2. Példák

Klasszikus példa. $d = [10, 10, 100]$, $B = 90 \Rightarrow a = [10, 10, 70]$ (a két kicsi teljesül, a maradék egy szinten oszlik meg).

Vegyes igények. $d = [3, 8, 8, 20]$, $B = 25 \Rightarrow$ rendezve az első igény (3) teljesül, a maradék 22 három felé oszlik: $a = [3, 7.33, 7.33, 7.33]$ A.

4.2.3. Implementációs részletek

A limitek csak $\pm 10^{-3}$ A változás felett frissülnek a fogyasztók felé (zajcsillapítás), a „nincs korlát” állapotot nagy INF_CAP érték reprezentálja. Ha a nyers igény összeg a keret alá esik, a limitek feloldódnak.

4.2.4. Alternatív allokációs stratégiák

A globális keret elosztására több lehetőség is fennáll. A megfelelő algoritmus választása sokat tud javítani a rendszer hatékonyságán, ezért nagyon fontos. A max-min fair elv mellett kettő alternatívát találtam.

Proporcionális elosztás. Ennél a megközelítésnél minden fogyasztó a teljes igény ($\sum_j d_j$) arányában részesül a rendelkezésre álló keretből, amennyiben $\sum_j d_j > B | B = \text{Globálkeret}$. A kiosztás képlete: $a_i = d_i \times (B / \sum_j d_j)$.

- *Példa:* Ha a keret $B = 90$ A, és az igények $d = [50, 50, 100]$, a teljes igény itt ekkor, $\sum d_j = 200$ A. Az arányos kiosztás $a \approx [22.5, 22.5, 45]$ A lenne.
- *Előnye:* Az egyik legegyszerűbb algoritmus.
- *Hátrány:* Ez a stratégia a "nagy" fogyasztóknak kedvez, és a kis igényűeket "éhezteti" (starvation).

Prioritásos (súlyozott) elosztás. Ebben az esetben minden fogyasztó kap w_i prioritási szintet (súlyt). Ha túlterhelés lépne fel a rendszer először a magasabb prioritású fogyasztókat elégíti ki, és a maradék keretből kapnak az alacsonyabb prioritású fogyasztók.

- *Előny:* Lehetővé teszi a "prémium" ügyfél fogalmát pl.: adott emberek autótöltője mindenig kap áramot.
- *Hátrány:* Szintén bevezeti az "éheztetés" (starvation) problémáját, ahol egy alacsony prioritású végpont akár soha nem kap erőforrást. A rendszer komplexitása nő, és a konfiguráció nehézkessé válik.

A választás indoklása. Az alternatívákkal szemben azért esett a választás a **max–min fair** elosztásra mert ez biztosítja a legjobb egyensúlyt az egyszerűség és az igazságosság között. Motivációk között megfogalmazott pontokat teljesíti:

1. *Védi a kis fogyasztókat:* Garantálja, hogy aki keveset kér, az megkapja, amíg a keret ezt egyáltalán lehetővé teszi. Ezzel elkerüli az arányos elosztás fő problémáját az "éheztetést".
2. *Igazságos a nagy fogyasztók között:* A fennmaradó kapacitást egyenlően osztja szét a nagy igényű fogyasztók között, anélkül, hogy bonyolult prioritási problémákat kéne megoldani.
3. *Determinisztikus és stabil:* Az algoritmus viselkedése kiszámítható, és könnyen implementálható.

Ezek a tulajdonságok miatt esett a választás a Max–Min fair elvre.

5. fejezet

Komponensek megvalósítása

Ebben a fejezetben a megtervezett rendszerarchitektúra gyakorlati megvalósítását ismertetem. Részletesebben megmutatom a hardveres és szoftveres komponenseket, a kommunikációs protokollok implementációját, valamint az adatgyűjtő és megjelenítő rétegeket. A fejezet a fizikai rétegtől a "végpontoktól" halad a magasabb szintű szoftveres rétegekig (adatbázis, vizualizáció).

5.1. Végpontok

A rendszerben a fizikai réteget a végpontok alkotják, amik közvetlen kapcsolatban állnak a villamos hálózattal. Feladatauk a kommunikáció biztosítása: egyrészt a mérési adatok (áramfelvétel, státusz) továbbítása a vezérlő felé, másrészt a beavatkozó parancsok végrehajtása a fizikai eszközökön.

5.1.1. Autótöltő

5.1.1.1. Hardver

A rendszer egy ESP8266 mikrokontroller köré épül, amely két elsődleges funkciót lát el:

- **Árammérés:** Folyamatosan méri az autótöltők által felvett elektromos áramot. Összegyűjti és a Prometheus, egy népszerű nyílt forráskódú felügyeleti rendszerrel kompatibilis formátumban jelenti ezeket a mérési adatokat, hogy a rendszerben egységes adatstruktúrákat használjunk.
- **Vezérlő interfész:** Emellett olyan mechanizmust biztosít, ami Modbus parancsokon keresztül vezérli az autótöltőket.
- **RS485:** Az ESP8266 natívan nem támogatja az RS485 kommunikációt, viszont tudunk használni egy RS485 adó-vevőt (pl. MAX485). Ez az ESP8266 UART jeleit RS485-re alakítja, ami az ipari kommunikációban elterjedt szabvány, ezért jellemzően a töltőkben és egyéb épületinformatikai eszközökben is megtalálható.
- **ModbusMaster könyvtár:** Itt az open source ModbusMaster könyvtárat [23] használtam a továbbítás egyszerűsítésére.



5.1. ábra. Autótöltő [5]

- **Átviteli vezérlés:** Az előbb említett adó-vevőnek szüksége van egy úgynevezett DE/RE (Driver Enable/Receiver Enable) vezérlőpinre. Amit viszont egyszerű megvalósítani az ESP8266-on egy digitális pin segítségével amire itt a D2 lett használva. Ezzel tudunk később adó és vevő módok között kapcsolni. Küldéshez a pin HIGH (adási mód), ezután a vételhez, pedig (vételi mód) állapotba kerül, ekkor LOW.

5.1.1.2. Szoftver

Itt az ESP8266 firmware főbb részeit elemzem.

WiFi és HTTP-kiszolgáló beállítása Kezdésnek az ESP8266 csatlakozik WiFi-re és ezzel a helyi hálózatra a megadott SSID és jelszóval. A csatlakozást követően az eszköz az ESP8266WebServer könyvtár segítségével inicializál egy HTTPS-kiszolgálót. Ez a szerver egy kijelölt porton (pl. 8663) figyel, és a /metrics végpontot teszi közzé, ahol közli az adatokat a központ vezérlővel.

Mérési adatok elküldése A sendMetricsToEndpoint() függvény formázza a méréseket Prometheus-szerű szöveges formába. A metrikák a következőket tartalmazzák:

- **esp8266_current0:** A mért áramértéket mutatja.
- **esp8266_connection:** Az ESP8266 kapcsolati állapotát jelzi, pl.: csatlakozva vagy nem.

Ez a funkció a Prometheus-kompatibilis mért érték és címkezési formátummal küldi el a mérést. Amikor például a vezérlő szerver lekéri a /metrics végpontot, a HTTPS-kiszolgáló 200 OK státusszal küldi vissza ezeket a formázott metrikákat, amennyiben minden rendben ment.

Main loop A loop() funkcióban az ESP8266 folyamatosan kezeli a bejövő HTTPS kéréseket és 30 másodpercenként az eszköz meghívja a queryPrometheus() függvényt, hogy frissítse az összesített metrikát. Ez az időszakos lekérdezési mechanizmus biztosítja, hogy a helyi mérések folyamatosan frissek legyenek és döntéshozatal alapjául lehessen venni őket.

Kommunikáció A rendszer itt is a biztonságos adatátvitel érdekében minden hálózati kommunikációhoz HTTPS protokollt használ. A legfontosabb adatáramlások a következők:

- **Mérések közzététele:** Az ESP8266 összegyűjt az aktuális méréseket, és azokat a /metrics végponton olyan formátumban teszi elérhetővé, ami már alkalmas Prometheus alapú adattárolásra.
- **Visszacsatolási hurok:** Az ESP8266 vezérlési értékeket kap a szervertől, amiket aztán modbuson ad tovább az eszközöknek.

5.1.1.3. Modbus kommunikáció vezérléshez

Ez a funkció az autó töltő áramhatárának beállítására szolgál. Az itt használt Modbus RTU használatával az ESP8266 lesz a master, ami „Write Single Register” parancsot ad az autó töltőnek (Modbus slave). Az autós töltő áramkorlátja egy előre meghatározott regiszterben található.

5.1.2. Megszakító

5.1.2.1. Hardver

A felügyelet- és vezérlésben minden megszakító egy ESP8266 modulhoz van csatlakoztatva, ami megkapja az aktuális állapotot, és ki-/bekapcsolást tud végezni. Legfontosabb komponensek és munkafolyamatok:

- **Állapotérzékelés:** Az ESP8266 digitális bemenete a megszakító egy segédérintkezőjéhez van kötve. Ha a megszakító zárva van, az érintkező bezár és az ESP bemenetét magasra húzza, ha nyitva van, a bemenet alacsony. Egy sima RC-szűrő és szoftveres pergésmentesítéssel (pl. 50 ms) lehet biztosítani a tiszta és zaj mentes átmeneteket.
- **Parancskimenet:** Egy GPIO pin egy relét húz meg, ami a megszakító kioldó/-becsukó tekercsét aktiválja.

5.1.2.2. Szoftver

Az ESP8266 arduino alapokon fut, és HTTPS segítségével csatlakozik a LAN-hoz Wi-Fi-n keresztül. minden megszakító interakció RESTful API hívásokon keresztül történik a Python vezérlő szerverhez:

```
https://<control-server>/api/breakers/<id>/state
```

```
{ "breaker_state": 1 }
```



5.2. ábra. Megszakító [6]

A metrika mezők használatával a Python szerver fordítás nélkül le tudja képezni a bejövő JSON-t a Prometheus-nak megfelelő formátumra (breaker_state és breaker_command).

5.2. Kontroll szerver

5.3. Adatbázis

A rendszer által generált adatok tárolásához egy Prometheus adatbázist használunk. A Prometheus egy nyílt forráskódú idősoros adatbázis, ami inkább felhő környezetben ismert, de ugyanolyan hasznos az IoT-telemetria számára. minden adatot időbényegzett értéksorozatként kezel. Ezeket lehet tárolni és lekérdezni. [7] [16]

Esetben minden metrika tárhelyeként szolgál. Ez lehetővé teszi, hogy megörizzem a töltési áramok történetét és ez alapján irányítsam a rendszert.



5.3. ábra. Prometheus [12]

A Flask szerver-ből könnyű továbbítani az adatokat. A megközelítés amit én használtam hogy egy HTTPS /metrics végpont elérhetővé tettek. Amin prometheus által olvasható formában hirdettem az adatokat. Például a Flask alkalmazás tudja továbbítani a mért számokat:

```
current_gauge = prometheus_client.Gauge('ev_charger_current', 'Current draw of EV charger', ['charger']).
```

Ha olvasás érkezik, a szerver frissíti a számokat (egyébként ezt periodikusan is megteszi)

```
current_gauge.labels(charger=id).set(value).
```

A Prometheus-nak előre meg kell adni az ip-címeket a konfigurációs filejában (a scrape konfigurációján keresztül), hogy időszakonként megnézze a Flask szerver /metrics URL-jét. Ez azért előnyösebb mert utólag ezeket már nem lehet állítani a Prometheusban indítás után. A szerver, pedig egy stabil IP címen van. A sok fizikai végpontról, pedig a szerver gyújt ahol elértem, hogy üzem közben is lehessen új végpontokat hozzáadni vagy módosítani.

Amikor a Prometheus olvas, a Flask az összes aktuális értéket szöveges Prometheus metrika formátumban adja ki. A Prometheus ezután ezeket az értékeket a metrikanévvel és címkékkel indexelve tárolja. Ez a lehívás alapú felügyelet jól illeszkedik a Prometheus működéséhez. A Prometheus adatai megjeleníthetők a Grafana által is és összetett lekérdezések írhatók például a teljes áram kiszámítására, amihez szükségeim is volt nekem rendszer irányítsásához.

5.3.1. Prometheus adatgyűjtés kezelése

A mikrokontroller több metrikát is mér, amit belső változókba elment. Jelenleg teszt célok ből ezek, csak kézzel megadott számok.

```
{
    "# HELP": "esp8266_current Current sensor reading.",
    "# TYPE": "esp8266_current gauge",
    "esp8266_current0": 1.20,
    "esp8266_current1": 2.50
}
```

Ez a formátum megengedi, hogy ezt a /metrics endpointon a Prometheus folyamatosan lekérdezze a mikrokontrollerektől.

A formátumot a következő függvény hozza létre és küldi:

```
sendMetricsToEndpoint()
...
server.send(200, "text/plain", metrics);
```

5.3.2. Prometheus lekérdezések kezelése

```
queryPrometheus()
```

Ez a függvény egy HTTP GET kérést küld a Prometheus szervernek, amely a esp8266_total_current metrikát kérdezi le és a prometheusValue változóba írja be.

```
/api/v1/query?query=esp8266_total_current
```

A fentebbi endpointon.

A lekérdezés sikerességét a httpCode ellenőrzésével teszem amennyiben ez 200-at ad vissza az értéket eltárolom és kiírom a soros kommunikáción ellenőrzés céljából.

```
if (httpCode == HTTP_CODE_OK) {
    String payload = http.getString();
    Serial.println("Response from Prometheus:");
    Serial.println(payload); \texttt{Adat JSON-be nyomtatása}

    DynamicJsonDocument doc(1024);
    DeserializationError error = deserializeJson(doc, payload);

    if (error) {
        Serial.print(F("JSON deserialization failed: "));
        Serial.println(error.c_str());
        return;
    }
}
```

Mivel a lekérdezés egy JSON formátumú változót ad vissza és ennek feldolgozása nehézkes ezért ezt rögtön szám formátumba alakítom későbbi feldolgozás céljából.

```
const char* status = doc["status"];
if (String(status) == "success") {

    const char* valueStr = doc["data"]["result"][0]["value"][1];

    prometheusValue = String(valueStr).toFloat();

    Serial.print("Extracted Prometheus Value: ");
    Serial.println(prometheusValue);
}
```

A fenti rész kinyeri az adatot JSON formátumból és szám formátumba írja.

Természetesen az egész queryPrometheus loop-ban ismétlődve fut, hogy a kontroller folyamatosan frissítse az értékeket. Jelenleg a gyakoriságot 30 másodperc-re állítottam, hogy ne terhelje a próbák során feleslegesen a hálózatot, de gyorsabb válaszidő érdekében ez növelhető.

5.4. Grafana alapú megjelenítés

A szerver automatikusan beavatkozik szükséges esetben, viszont emellett továbbra is szükséges a működtető személyzetnek látnia, a rendszer működését. Ezt folyamatosan ellenőrizni és amennyiben nem megfelelő működés lép fel. Akár nem működik az automatizmus akár rosszul működik, szükséges beavatkozni manuálisan.

5.4.1. Az áramok vizualizálása és riasztások a Grafanában

Ebben a fejezetben bemutatom, hogy a nyers árammérések az egyes EV-töltők és egyéb terhelések hogyan oszlanak meg három fázison, valamint a napelemek bemeneti áramai hogyan jelennek meg Grafanában, és hogyan történik a túláram vagy más veszélyes állapotok automatikus vagy manuális kezelése. minden eszköz a Prometheus metrikákat exportálja a következőképpen:

```
ev_charger_current_phase_a_amplitude{charger="ev1"} 12.3
ev_charger_current_phase_b_amplitude{charger="ev1"} 11.8
ev_charger_current_phase_c_amplitude{charger="ev1"} 12.1

equipment_current_phase_a_amplitude{device="pump1"} 5.4
```

```
...
solar_input_current_amplitude 8.7
```

5.4.1.1. A Dashboard

1. sor EV töltők áramai amik a \$charger változóval vannak jelölve, ez felsorolja az összes ide tartozó cimke értékét (pl. „ev1”, „ev2”, ...). Ezután az idősoros panel: ábrázolja az összegzett értéket három fázison.

```
ev_charger_current{charger="$charger"}
```

Itt ugyanazon a tengelyen láthatóak a három fázis összegzett értékei, különböző színnel és elnevezéssel. Az úgynevezett "mérőpanelen" a pillanatnyi fázisáramokat három kis mérő formájában lehet látni igazából továbbra is a fenti lekérdezésseket használva, pillanatnyi csak üzemmódban. A küszöb értékeket állítottam be a könnyeb vizualizáció érdekében a töltő névleges áramának, 80 %-ánál (sárga) és 100 %-ánál (piros) vannak beállítva.

2. sor Segédberendezések áramai A \$device változóban keressük ezeket a metrikákat.

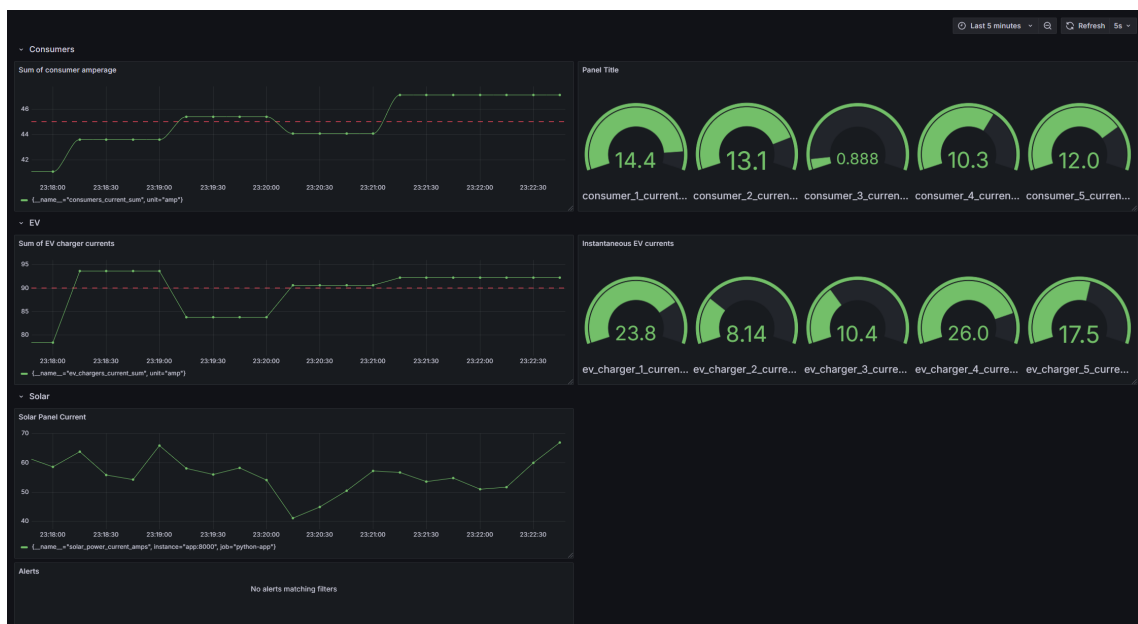
A panel hasonlóan az előző ponthoz jeleníti meg az adatokat, amely a pillanatnyi és max értéket mutatja.

```
max_over_time(equipment_current_phase_a_amplitude{device="\$device"}[1m])
```

A maximumot minden fázisra az elmúlt percben mutatja, az idetartozó megfelelő színküszbökkel. Mellette raktam egymás mellé csoporthoz oszlopdiagramot a gyors összehasonlításokra.

3. Sor Napelem bemeneti áram Itt szintén egy idősoros panelt alkalmaztam a megjeleníthetőség érdekében.

```
solar_input_current_amplitude
```



5.4. ábra. Általam készített Grafana dashboard

6. fejezet

A vezérlési késleltetés és a rendszer-reakcioidő elemzése

6.1. Bevezetés: A reakcioidő kritikus szerepe

A dolgozatban bemutatott keretrendszer nem csak egy statikus eszköz, hanem egy aktív beleszól a rendszer elemek működésébe Ezentúl vannak egyéb fizikai eszközök amik a felügyeleti rendszertől függetlenül üzemelnek. Míg a dolgozat végén található tesztek a rendszer *funkcionális* helyességét igazolják, itt a rendszer időbeli viselkedését, azaz a késleltetését vizsgáltam.

Energetikai rendszerek felügyeleténél a reakcioidő kritikus tényező, mert egy zárral esetén rövid idő alatt nagyon nagy energiák szabadulnak fel. A keretrendszer célja, hogy a szoftveres energia allokációval a teljes keretet(ALLOC_MAX_TOTAL) úgy ossza fel, hogy megelőzze a fizikai védelmi eszközök (megszakítók) leoldását. A rendszer gyakorlatilag egy "versenyt fut" az idővel: a szoftveres vezérlőhuroknak gyorsabban kell észlelnie és kezelnie a túlterhelést, mint ami a fizikai megszakító védelmén van beállítva leoldási időnek.

Ha a késleltetés túl nagy, a rendszer – bár funkcionálisan helyesen működne – mégis kudarcot fog vallani, mert a túlterhelés hatására a megszakítók leoldanak, mielőtt a szoftveres korlátozás érvénybe léphetne.

6.2. A vezérlés komponenseinek késleltetése

Ahhoz, hogy a teljes rendszer reakcióideét (T_{total}) megértsük, fel kell bontanunk a teljes vezérlési hurkot az egyes komponensek által hozzáadott késleltetésekre. Egy túlterhelés észlelése és kezelése a következő lépésekkel áll:

1. **Mérés ($T_{measure}$):** Az ESP8266 árammérő szenzora (pl. SCT-013) fizikailag megméri az áramot. Ez kb. valós időben törtnéni, ez a késleltetés elhanyagolható.
2. **Adat küldés ($T_{publish}$):** Az ESP8266 frissíti a mért értéket és elérhetővé teszi azt a /metrics végponton. Ez elég szintén elég gyors, hogy valós idejűnek nevezzük .

3. **Adatgyűjtés (T_{scrape}):** A Prometheus szerver a kontrol szerveren keresztül, gyűjti az adatokat. Mivel a kontrol szerverrel szinkronben kérdeznek, ezért szükséges mindekként a konfigurációjában (`scrape_interval`) változót előre és egységesen meghatározni, ez időközönként lekérdezi a mérő végpontjának a /metrics URL-jét. *Ez a rendszer egyik legjelentősebb késleltetési tényezője.* Ha egy tipikus 5 másodperces időközről beszélünk a mérés és a Prometheus általi észlelés között, átlagosan 2.5, rosszabb esetben 5 másodperc is eltelhet.
4. **Adatfeldolgozás (T_{query}):** A Kontroll Szerver lekérdezi az adatbázisból az áramokat. A lekérdezés gyors, viszont ez a lépés is a Prometheus belső frissítési ciklusától függ.
5. **Döntéshozatal (T_{algo}):** A Python szerver az adatokra lefuttatja a max-min fair algoritmust. Az elosztást tagalaló fejezetben láttuk, hogy ennek bonyolultsága $O(n \log n)$, ez kis ($n = 3..10$) fogyasztószám esetén elhanyagolható.
6. **Beavatkozás ($T_{command}$):** A szerver a számolás után korlátokat küld a végpontoknak. Itt egyedül a hálózati késleltetések lépnek fel (Wi-Fi, LAN).
7. **Végrehajtás ($T_{execute}$):** Az ESP8266 fogadja a parancsot és a Modbus-os fizikai eszközök beállítják az autótöltő vagy egyéb eszköz maximális áramát. Ez is egy gyors műveletnek számít.

Így jön ki, hogy a következő lesz a teljes késleltetés:

$$T_{total} = T_{measure} + T_{publish} + T_{scrape} + T_{query} + T_{algo} + T_{command} + T_{execute} \quad (6.1)$$

6.3. A fő késleltetési tényezők

Az előző pont lánca jól mutatja, hogy a késleltetést nem az algoritmus limitálja, hanem az adatgyűjtés architektúrája.

A teljes késleltetés nagy részét (T_{total}) kettő tényező dominálja:

1. **Prometheus Scrape Interval (T_{scrape}):** Ez a rendszer "szívverése". A vezérlőhurok nem tud gyorsabban reagálni, mint amilyen sűrűn friss adathoz jut. Ha ez az érték 5 másodperc, a rendszer fizikailag "vakon" repül 5 másodpercig, és csak utólag értesül a korábbi eseménykről.
2. **Hálózati késleltetés ($T_{command}$):** A Wi-Fi-alapú kommunikáció további, változó hosszúságú (jitter) késleltetést vihet a rendszerbe, terhelt vagy zajos hálózati környezetben, ez különösen problémás hiszen nehéz számolni a dinamikusan változó késleltetéssel.

Míg a hálózati késleltetés általában tíz-száz milliszekundum nagyságrendű, a `scrape_interval` másodperces nagyságrendű alap beállítás szerint. Viszont ezt lecsökkenthetjük akár 100ms-re is, ez növeli a hálózati forgalmat és a szerver terhelését, de jelentősen csökkenti a teljes késleltetést. Így beállítható a megszakítók védelmi szintje ennél nagyobb értékre, például 500ms-re. Így már nem kell aggódnunk, hogy a késleltetés miatt a fizikai védelem leold.

6.4. Védelmi beállítások késleltetések alapján

A késleltetés számítása után lehetséges beállítani a védelem értékeit. A rendszerben kettő kvázi független védelmi szint létezik:

- **1. Szoftveres Védelem (Allocáció):** Ezt a ALLOC_MAX_TOTAL kerettel tudjuk beállítani. Célja a *komfort* és a *hatékonyiság* biztosítása, a keretek a felhasználható teljesítmény folyamatos kihasználása és a fizikai leoldások *megelőzése*. Reakcióideje megfelelően pár száz milliszekundum (T_{total}).
- **2. Fizikai Védelem (Megszakító):** Ezt a megszakító védelmének fizikai beállítása határozza meg. Célja a hálózat fizikai védelme. Reakcióideje azonnali viszont a védelemben késleltetést állítunk be, amit körülbelül a szoftveres érték kétszeresére állítunk.

A rendszer stabil működésének feltétele, hogy e két szint megfelelően legyen összehangolva, a kétszeres érték valószínűleg egy megfelelő mértékű eltávolítás, ami enged helyet még a jitter-nek és egyéb hibáknak a vezeték nélküli hálózaton.

Konfigurációs példa. Tegyük fel, hogy:

- A szoftveres keret ALLOC_MAX_TOTAL = 90 A.
- A Prometheus scrape_interval és a teljes hurok késleltetése $T_{total} = 200 \text{ ms}$.
- A csatlakoztatott eszközök (pl. autótöltők) képesek 200 milliszekundum alatt további 20 A terhelést bekapsolni (pl. egy új autó csatlakozik).
- Ebben az esetben a fizikai megszakító védelmi beállítása legyen legalább $T_{total} = 400 \text{ ms}$.

Ebben az esetben az esetben megfelelő a kettő késleltetés távolsága, hogy ne történjen véletlen leoldás.

6.5. Következtetések

A keretrendszer sebességét nem a max-min fair algoritmus bonyolultsága, hanem a pull-alapú adatgyűjtési architektúra késleltetése határozza meg főként. Ez a szoftveres késleltetés (T_{total}) a rendszer egyik fő paramétere.

A fizikai védelmi beállításokat a megszakító fizikai felületén kötelezően ennek a szoftveres késleltetésnek a figyelembevételével kell konfigurálni. A két védelmi szint között elegendő headroom-ot kell hagyni, hogy a szoftveres allokációnak legyen ideje reagálni a terhelésváltozásokra, mielőtt a fizikai védelem szükségtelenül megszakítaná a szolgáltatást, a fizikai megszakítónak csak a hibák kivédésére szabad működni. A rendszer finomhangolásánál viszont fontos figyelembe venni az egyensúlyt a gyors adatgyűjtés, ezáltal gyors védelmi beállítás és a magas hálózati terhelés között.

7. fejezet

Kubernetes integráció

7.1. Bevezetés

A konténerizáció nagy előnyt nyújt, mivel szabványosított, elszigetelt környezetet kínál a szoftverek futtatásához. A Docker Compose elterjedt a helyi, több konténert tartalmazó alkalmazásokhoz, egyszerűsítve az összekapcsolt szolgáltatások definiálását és futtatását. Mivel azonban sokszor skálázódásra van szükség, és olyan funkciókra, mint a nagy rendelkezésre állás, az automatikus skálázás és a kifinomult orkesztráció, a Kubernetes vált a konténer orkesztráció szabványává.

Ebben a fejezetben megmutatom, hogy az eredetileg a Docker Compose segítségével definiált rendszeremet, hogyan migráltam Kubernetes környezetbe. A rendszereiben a már meglévő szolgáltatások jelenek meg, mint a Prometheus a felügyelethez, a Grafana a vizualizációhoz, több szimulátorszolgáltatás és egy vezérlőszerver. Itt bemutatom a Docker Compose konfigurációk Kubernetes manifesztjeibe való átforgatásának kihívásait.

7.2. A Docker Compose és Kubernetes áttekintése

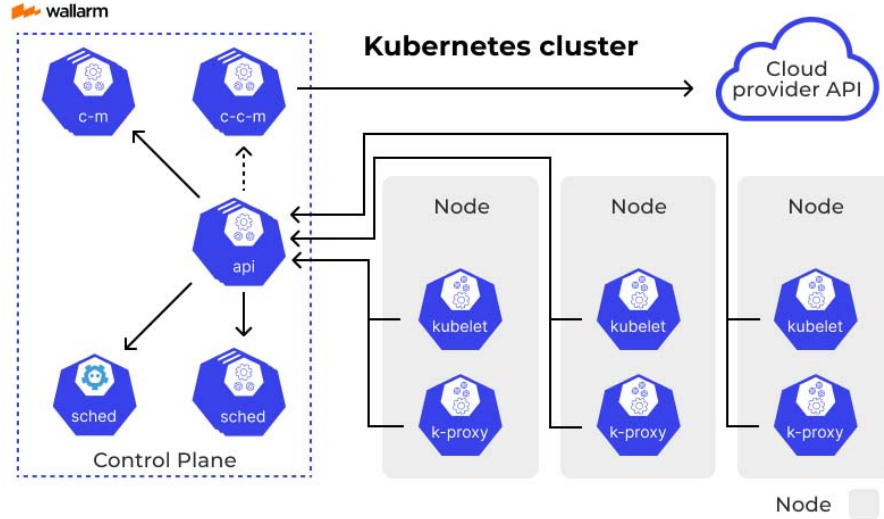
Docker Compose Ezzel több konténert tartalmazó Docker alkalmazásokat lehet definiálni és futtatni. Konfigurációja egy YML fájlban tárolt, ahol a szolgáltatásokat, hálózatokat kapcsolatokat, köteteket és függőségeket lehet megadni. A Docker Compose leegyszerűsíti a konténerek egyetlen hoszon történő orkesztrációját, így segíti a fejlesztést és tesztelést.

Kubernetes A Kubernetes (K8) viszont egy robosztus, open source platform a konténerek telepítésének, skálázásának és üzemeltetésének automatizálására hostokon. A Kubernetes új absztrakciót vezet be:

- **Pod:** Ez a legkisebb telepíthető egység, amely egy vagy több konténert foglalnak magukba.
- **Deployment:** Állapot nélküli alkalmazások kezelésére szolgáló objektumok, amelyek olyan funkciókat kínálnak, mint a gördülő frissítések és a visszaállítás.
- **Service:** Végpontokat biztosítanak a podok eléréséhez, segítve a felfedezést és a terheléselosztást.

- **ConfigMap** és **Secret**: Mechanizmus a konfiguráció és az imagek szétválasztására.
- **PersistentVolumeClaim (PVC)**: Absztrakció adattárolásra.

A migráció során ezeket képeztem le docker-ből k8-ba.



7.1. ábra. Kubernetes architektúra [1]

7.3. Rendszerarchitektúrája

A rendszer a már megismert következő részeket tartalmazza:

- **Prometheus**: Egyéni prometheus.yml fájllal konfigurált idősoros adatbázis. Ennek szerencsétlensége, hogy az újra konfiguráció csak újra indítással lehetőséges.
- **Grafana**: Vizualizációs eszköz, ami közvetlen a Prometheushez kapcsolódik megjelenítéséhez.
- **ESP8266 szimulátorok**: Itt épen három példány szimulálja a különböző szimulátorazonosítókkal rendelkező eszközöket.
- **Breaker Simulators**: Más jellegű, de hasonló célú szimulátor.
- **Vezérlőszerver**: Lebonyolítja az eszközök közötti interakciókat, vezérlést és adatok továbbítását.
- **System Simulator**: A rendszer általános viselkedését emuláló központi szolgáltatás.

A Docker Compose alkalmazásban ezek az összetevők hálózaton és socketeken keresztül kapcsolódtak össze, és meghatározott végpontokon jelenítettek meg. [3]

7.4. A Docker Compose beállítások konvertálása Kubernetes manifeszteké

A Docker Compose-ról a Kubernetesre való áttérés magában foglalja az alkalmazás architektúrájának újragondolását a podok, deployment-ek, szolgáltatások és más Kubernetes objektumok szerint. [22]

7.4.1. Névtér- és konfigurációkezelés

Itt létrehoztam egy névteret (pl. monitoring) ez izolációt biztosít az alkalmazás számára. A ConfigMap a Prometheus konfiguráció tárolására szolgál (a prometheus.yml tartalma), lehetővé téve a konfiguráció frissítését a konténerek image-einek újbóli legenerálása nélkül.

```
apiVersion: v1
kind: Namespace
metadata:
  name: monitoring
---
apiVersion: v1
kind: ConfigMap
metadata:
  name: prometheus-config
  namespace: monitoring
data:
  prometheus.yml: |-  
    global:  
      scrape_interval: 15s  
    scrape_configs:  
      - job_name: 'prometheus'  
        static_configs:  
          - targets: ['localhost:9090']
```

7.4.2. Deployment-ek és Service-ek

Minden szolgáltatás Docker Compose-ban egy Deployment és egy Service formájában jelenik meg a Kubernetesben. A Deployment kezeli az alkalmazásban a podokat, a Service ezeket a podokat teszi elérhetővé.

Például a Prometheus szolgáltatás egyetlen replikával rendelkezik. Konfigurációja a ConfigMap-ról van mountolva, a perzisztens adatai pedig egy PersistentVolumeClaim (PVC) segítségével tárolom. Hasonlóképpen, más szolgáltatások, például az ESP8266 szimulátorok és a vezérlő szerver deployment-ekké alakulnak át, amelyek környezeti változókat és portkonfigurációkat adnak meg.

7.4.3. Perzisztens tárolók kezelése

A Docker Compose-ban gyakran definiálnak volume-okat az adattárolására. A Kubernetesben ezt a PersistentVolumeClaims biztosítja. A készített rendszerben a Prometheus, mind a Grafana perzisztens tárolót igényelt az adatok megőrzéséhez, amiket a PVC-k létrehozásával és konténerekhez kötésével értem el.

```
apiVersion: v1
kind: PersistentVolumeClaim
metadata:
  name: grafana-data
  namespace: monitoring
spec:
```

```
accessModes:
  - ReadWriteOnce
resources:
  requests:
    storage: 1Gi
```

7.4.4. Szolgáltatások elérhetővé tétele és hálózati konfiguráció

A Docker Compose-ban a portok hozzárendelését a konfigurációban végezzük. A Kubernetesben a portok meghatározást a Service-ek kezelik, ezek lehetnek NodePort típusúak a külső hozzáféréshez vagy ClusterIP típusúak a belső kommunikációhoz. A migráció során a konténerek portjait le kellett képezni a hosztokra, hogy a külső interfész ugyanaz maradjon az eredeti Docker Compose-hoz képest.

Például a Docker Compose-ban az 5000-es porton található vezérlő szervert egy olyan Kubernetes Service replikálja, amely egy adott NodePort-ot rendel hozzá, például 30050-et.

7.4.5. Telepítés és tesztelés

A Kubernetes manifeszt a kubectl apply -f parancssal kerül alkalmazásra. Ez telepíti az összes komponenst a névterben. A telepítés után a szabványos Kubernetes-parancsok (pl. kubectl get pods, kubectl logs, kubectl describe) a podok állapotának ellenőrzésére szolgálnak. Így iteratívan lehet tesztelni az új rendszert és később szolgáltatás kimaradás nélkül frissíteni.

Telepítéséhez a következő parancsot használjuk:

```
kubectl apply -f monitoring.yaml
```

És hogy megvizsgáljuk a telepített podokat:

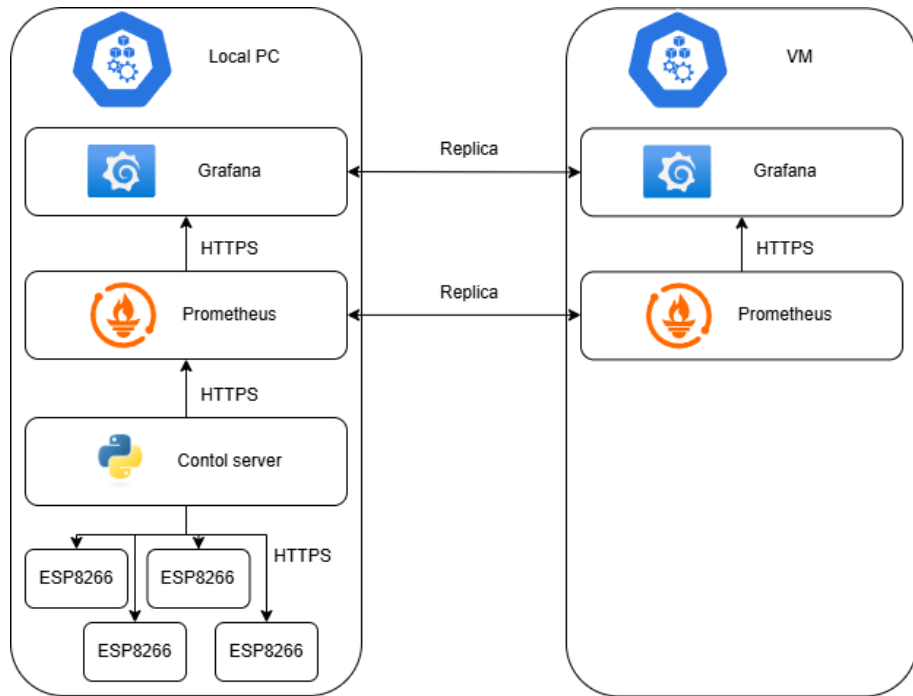
```
kubectl get pods -n monitoring
```

7.5. Nagy elérhetőségű rendszer implementációja

Az aktív elsődleges és passzív készenléti minta csökkenti a komplexitást és emellett megbízható felügyeletet biztosít:

- A Prometheus folyamatos adatreprodukciója minden megrőz a második helyszínen.
- A replikán keresztül biztosított a Grafana-B azonnali használhatósága.
- Az átállást csak a DNS/szolgáltatás frissítési sebessége korlátozza.
- Ez a topológia megfelel a megbízhatósági céloknak a monitorozási környezetbe.

A Prometheus-A minden célpontot lekérdez, és elvégzi az összes értékelést. A Prometheus-B távoli írást kap A-tól (A hálózat felesleges terhelésének elkerülése érdekében nem scrapel közvetlen). A Grafana-B csatlakozik a Prometheus-B-hez, és a dashboardokat innen frissíti (ez közvetlenül nem érhető el). Egyetlen DNS név mutat az A ingressre. A Kubernetes és egy külső állapotellenőrzés frissíti a DNS-t a B oldalra, amikor az A leáll.



7.2. ábra. Hibrid kubernetes topológia

7.5.1. Replikák megvalósítása

A VM-n a prometheus konfigurációja a következő képen történik.

```

apiVersion: apps/v1
kind: Deployment
metadata:
  name: prometheus-b
  namespace: monitoring
spec:
  replicas: 1
  selector: { matchLabels: { app: prometheus-b } }
  template:
    metadata: { labels: { app: prometheus-b } }
    spec:
      nodeSelector: { site: "b" }
      containers:
        - name: prometheus
          image: prom/prometheus:v2.49
          args:
            - --config.file=/etc/prometheus/prometheus.yml
            - --web.enable-lifecycle
          volumeMounts:
            - name: data
              mountPath: /prometheus
          readinessProbe: { httpGet: { path: /-/ready, port: 9090 } }
        volumes:
          - name: data
            persistentVolumeClaim:
              claimName: prometheus-b-data
---
kind: PersistentVolumeClaim
metadata:
  name: prometheus-b-data
  namespace: monitoring
spec:
  accessModes: [ReadWriteOnce]
  storageClassName: cloud-ssd
  resources: { requests: { storage: 50Gi } }
```

Az eredeti A prometheus-ból pedig a B-be folyamatosan írunk.

```
remote_write:  
- url: http://prometheus-b.monitoring.svc.cluster.local:9090/api/v1/write  
queue_config:  
  capacity: 10000  
  max_shards: 5  
  max_samples_per_send: 1000  
  batch_send_deadline: 5s
```

A grafana megvalósítása során igazából csak egy ugyanolyan deployment-et hozunk létre. Ez egy másolat a másikról amire ha kell áttudunk bármikor térni.

```
spec:  
replicas: 1  
template:  
  metadata: { labels: { app: grafana-b } }  
  spec:  
    nodeSelector: { site: "b" }  
    containers:  
      - name: grafana  
        image: grafana/grafana:11.0.0  
        env:  
          - name: GF_DATABASE_URL      # same secret as primary  
            valueFrom: { secretKeyRef: { name: grafana-db, key: db_url } }  
          - name: GF_SECURITY_SECRET_KEY  
            valueFrom: { secretKeyRef: { name: grafana-db, key: secret } }  
    readinessProbe:  
      httpGet: { path: /api/health, port: 3000 }
```

7.5.2. KubeADM

A projektemben a kubeadm-re támaszkodtam, hogy kubernetes klasztert készítsek a linux vm-et bevonva. Ez megkönnyítette a folyamatot mert magasabb szintű tervezésre volt csak szükség és ez megoldotta magától az alacsonyabb szintű problémákat.

```
sudo kubeadm init --config=/etc/kubeadm/config.yaml
```

Az inicializálás után csak egy tokenet kellett adni a nodenak, hogy csatlakozzon a clusterhez. Ezután a a további folyamatokat kezelte is a Kubeadm.

```
sudo kubeadm join 10.200.0.1:6443 \  
  --token <token> \  
  --discovery-token-ca-cert-hash sha256:<hash>
```

Ennek köszönhetően egy hasonló rendszerben, ha a egy node meghibásodik akkor a másik átveszi a helyét és felhasználói oldalról nem érzünk kiesést. A helyre állítás során, pedig csak egy parancsot kell kiadnunk:

```
kubeadm join
```

Ezután újra csatlakoztattuk is a node-ot és újonnan felépíthetjük a clusterben.

8. fejezet

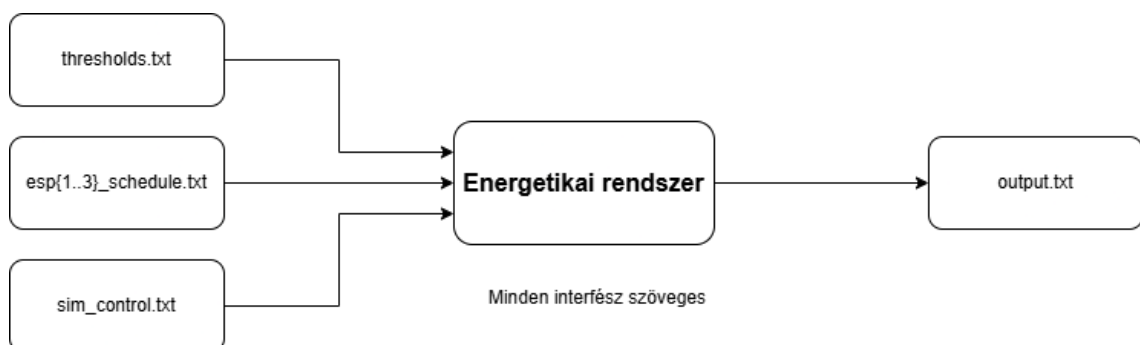
Szöveges interfések a szimulációhoz

8.1. Cél és áttekintés

A rendszer szöveges alapú beállításra és eredménygyűjtésre alkalmas. A cél, hogy a szimuláció *kiegészítő eszközök* (pl. curl, CSV-konverzió) nélkül, egyszerű szövegfájlokkel legyen vezérelhető és kiértékelhető.

Rövid összefoglaló:

- **Bemenetek:**
 - thresholds.txt - itt találhatóak meg a maximum és minimum értékek, amit elérhet különböző pontjain a rendszer.
 - esp{1..3}_schedule.txt - ebben találhatóak meg a mérőpontok napi-rendjei.
 - sim_control.txt - itt találhatóak meg a futtatási állapotok parancsai.
- **Kimenet/napló:** output.txt (idősoros; egy sor = egy vezérlési ciklus) Ebben található meg az összes lényeges mérőszám és állapot minden ciklusban.
- **Webes felület:** „Dev Panel” (localhost:8080) a fájlok szerkesztéséhez, generálásához, letöltéséhez, a futás indításához/megállításához, az idő nullázásához és a napló törléséhez használható.



8.1. ábra. Interfészek

8.2. Bemeneti szövegfájlok

8.2.1. thresholds.txt – küszöbök és maximum megengedhető áram

A vezérlő szerver minden ciklusban beolvassa. Kulcs–érték párok, tizedes ponttal:

```
# Küszóbértékek a vezérlő szerverhez
BREAKER_MAX_TOTAL=65.0    # [A] - Megszakító lekapcsolási áram
BREAKER_MIN_TOTAL=35.0    # [A] - Megszakító bekapcsolási áram
ALLOC_MAX_TOTAL=95.0      # [A] - Max áram érték
```

Megjegyzések:

- A *megszakítók* (breakerek) logikája az *aktuálisan mért hatásos összáramhoz* viszonyít (BREAKER_MAX_TOTAL, BREAKER_MIN_TOTAL).
- A SIM-ekre küldött korlátok (cap) a *nyers igényekből* számítódnak *max-min fair* elv szerint, az ALLOC_MAX_TOTAL keret figyelembevételevel.

8.2.2. esp{x}_schedule.txt – idősoros bemenet

Formátum: időpillanat másodpercben + kívánt áram (A). A menetrend *lépcsős*: a legutóbbi időponthoz tartozó érték érvényes a következő megadásig.

```
# seconds    amps
0          1.0
30         2.5
120        0.8
```

Irányelvek: tizedes elválasztó pont; tetszőleges szóköz; a sorok idő szerint rendezve mint minden szöveges ki- és bemeneti file-ban.

8.3. sim_control.txt – futtatási állapot

Egyetlen szó: RUNNING vagy STOPPED (Az alapértelmezés STOPPED). A SIM-ek „virtuális órája” csak RUNNING állapotban megy.

8.4. Kimeneti szövegfájl

8.4.1. output.txt – idősoros kimenet

A vezérlő minden ciklusban *egy sort* ír. A fájl alapértelmezetten *append-only* a véletlen szerkesztést elkerülendő; a Dev Panel „Clear output.txt” művelete törli amennyiben ez szükséges, és a vezérlő legközelebb automatikusan újra létrehozza a fejlécet. Formátum: kulcs=érték párok szóközzel elválasztva.

```
# One record per line; fields are key=value separated by spaces
timestamp=1758199200 sim_state=RUNNING sum_current_amps=5.7 \
alloc_max_total_amps=6.0 max_total_amps=6.0 min_total_amps=1.0 \
sims=esp1:raw=2.0,effective=2.0,cap=2.0|esp2:raw=1.7,effective=1.7,
cap=2.0|esp3:raw=2.5,effective=2.0,cap=2.0 \
breakers=brk1:on,brk2:on
```

Kulcsok a kimeneti file-ban:

- timestamp – UNIX időpecsét (s).

- sim_state – globális állapot: RUNNING/STOPPED.
- sum_current_amps – mért hatásos összáram (cap után).
- alloc_max_total_amps – allokációs keret (A).
- max_total_amps / min_total_amps – breaker küszöbök (legacy nevek).
- sims – | jellet szeparált lista SIM-enként:
espX:raw=..., effective=..., cap=...
ahol raw = menetrendi igény, effective = tényleges áram, cap = küldött maximum.
- breakers – megszakítók állapota on/off, vesszővel elválasztva.

8.5. Időkezelés és futtatás

- **Virtuális idő:** minden SIM saját menetrendi ideje csak RUNNING állapotban növekszik.
- **STOPPED** módban a SIM-ek ideje megáll; a vezérlő nem küld új cap-et és nem kapcsolat megszakítót, csak mér és naplóz.
- **Reset (t=0):** a Dev Panel „Reset sim time (t=0)” gombja az összes SIM virtuális idejét nullázza (a panel előbb STOP-ra állít, majd resetel).

8.6. Reprodukálhatóság és feldolgozhatóság

A bemenetek (küszöbök, menetrendek, futtatási állapot) verziózhatók és mellékelhetők. A kimeneti output.txt önéleíró; minden rekord tartalmazza az adott ciklus lényeges paramétereit. A formátum egyszerűen feldolgozható bármely nyelven (kulcs=érték párok; sims és breakers mezők jól definiált szeparátorokkal).

8.7. Rövid példa – beállítás → kimenet

thresholds.txt

```
BREAKER_MAX_TOTAL=9.0
BREAKER_MIN_TOTAL=2.0
ALLOC_MAX_TOTAL=9.0
```

esp1_schedule.txt

```
# seconds amps
0 50
60 10
```

esp2_schedule.txt

```
0 50
60 10
```

esp3_schedule.txt

```
0 50
60 100
```

Várható kiosztás a 0–60 s szakaszban: minden SIM korlátozott, mivel az igény $150 \text{ A} > 9 \text{ A}$. 60 s után az igények $[10, 10, 100] \Rightarrow$ kiosztás $[10, 10, 70]$. A cap és az effective értékek ennek megfelelően jelennek meg az output.txt-ben.

9. fejezet

Fejlesztői panel (Dev Panel)

9.1. Cél és szerep

A Dev Panel egy könnyű használatú webes felület, amely a szöveges bemenetek és kimenetek kezelését, a futtatás indítását/megállítását, az idő nullázását és a napló törlését teszi lehetővé. Célja a *gyors kísérletezés* és a *reprodukálható* tesztfutások támogatása külön eszközök nélkül.

9.2. Architektúra áttekintése

A panel egy Flask-alapú backendból (`/api/*`) és statikus frontendból (HTML+CSS+JS) áll. A backend közvetlenül a `./data` mappában található fájlokat kezeli, és hálózaton hívja az esp-t szimuláló konténerek végpontjait. A vezérlő külön, a saját portján (8000) fut; a Prometheus és Grafana eléréséhez gyorslinkek állnak rendelkezésre.

9.3. Fő funkciók és munkamenet

Start/Stop. A `sim_control.txt` fájlba írja a panel a RUNNING vagy STOPPED értéket. STOP módban az esp szimulátorok virtuális ideje megáll, a vezérlő nem küld max értékeket és nem kapcsol megszakítókat, csak mérést és naplózást végez.

Reset (t=0). A panel a STOP beállítás után meghívja minden esp szimulátor `/reset_time` végpontját, a virtuális idejük nulláról indul újra.

Clear output.txt. A `data/output.txt` törlése. A vezérlő a következő ciklusban automatikusan újra létrehozza a fejlécet és folytatja a naplózást.

Thresholds szerkesztés. A `thresholds.txt` beolvasása/írása a panelről: `BREAKER_MAX_TOTAL`, `BREAKER_MIN_TOTAL`, `ALLOC_MAX_TOTAL`.

Menetrend-generátor. Konstans, fel- és lefutás, lépcső, szinusz és random walk idősorok képezhetők a `esp{x}_schedule.txt` fájlokba (formátum: seconds amps). A generált tartalom előnézetben ellenőrizhető.

Raw editor & Letöltés. Tetszőleges bemeneti fájl közvetlen szerkeszthető; az output.txt csak olvasható. minden be- és a kimenet letölthető megőrzéshez.

9.4. Backend API (elérések)

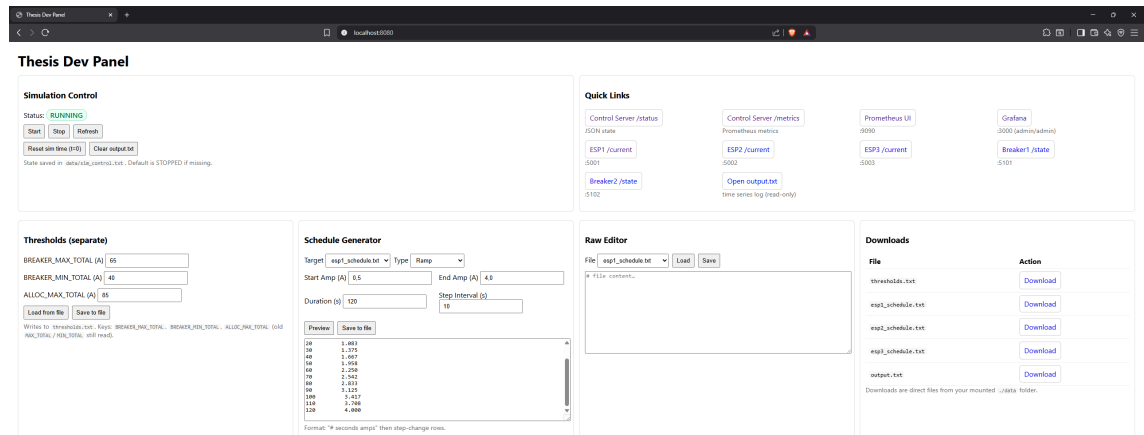
Végpont	Funkció
GET /api/read?name=...	Fájl beolvasása
POST /api/write	Fájl írása
GET /api/download?name=...	Közvetlen letöltés
GET /api/sim_state	Globális állapot lekérdezése
POST /api/sim_state	RUNNING/STOPPED beállítása
POST /api/clear_output	output.txt törlése
POST /api/reset_sim_time	Minden szimulátor időnullázása

9.5. Biztonsági és korlátok

A panel belső használatra készült. Nincs többfelhasználós jogosultság- és CSRF-kezelés; éles környezetben ezeket pótolni szükséges. A fájlműveletek engedélyezett listához kötöttek, a végpontok nem tesznek lehetővé tetszőleges fájlhozzáférést.

9.6. Kiterjeszthetőség

A panel könnyen bővíthető új be- és kimenetekkel: pl. súlyozott fair-elosztás bemelete (weights.txt), előre definiált menetrend-sablonok, vagy beépített grafikon a output.txt vizualizálására. A funkcionalitás változtatása különösen egyszerű, mivel az állapot *szöveges fájlokban* van deklarálva.



9.1. ábra. Devpanel

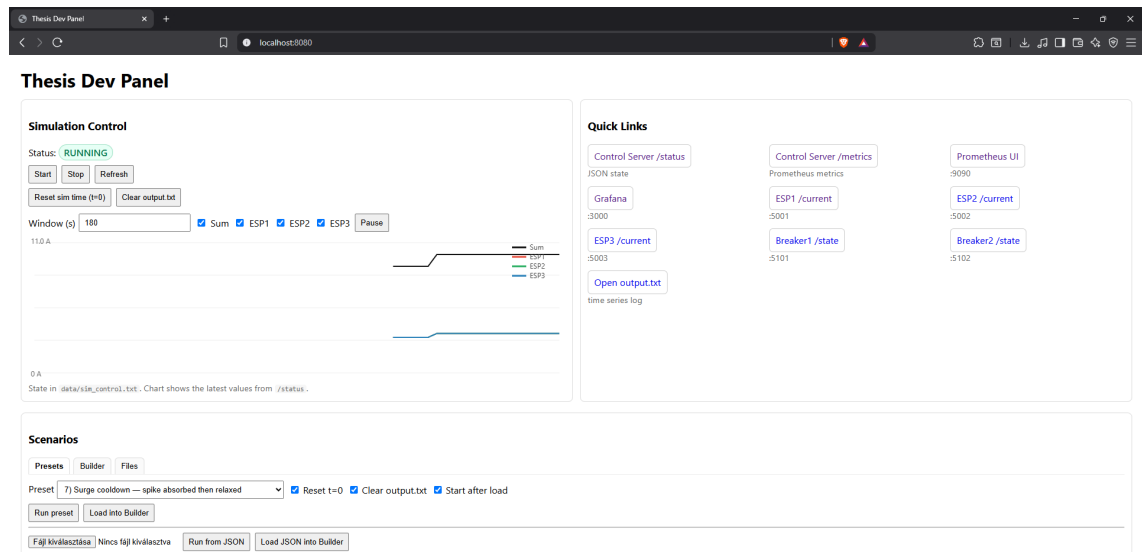
9.7. Dev Panel módosítások

9.7.1. Motiváció és cél

A fejlesztői panelt a készítésnek ebben a fázisában úgy bővítettem, hogy a tesztletek egy kattintással reprodukálhatóak legyenek, a kézi teszt generátor pedig ugyanazon a felületen, azonnali futtatással történjen és opciót adjon a kimentésre . A fő cél: *egységes teszteset kezelés* (presetek, és könnyen generálható egyedi scenariók), *automatizált tesztelés*, és *idősoros megfigyelés* egy nézetben.

9.7.2. Fő fejlesztések

- **Egységesítettem a *Scenarios* kártyát** három füllel: *Presets*, *Builder*, *Files*.
- **Auto Test Runner:** beépített demók (presetek) egy kattintással futtathatóak, illetve betölthető és kimenthető JSON-ba egy teljes scenárió.
- **Összevonás szerkesztés:** a menetrend-generátor és a nyers szövegszerkesztő panelt egységesítettem (*Builder*).
- **Scenárió-könyvtár:** megvalósítottam a teljes tesztet magába foglaló JSON mentését sajátgépre vagy szerverre. (/data/scenarios/).
- **Atomikus írás és állapotkezelés:** bemeneti fájlok biztonságos felülírása, `sim_control.txt` kezelés, opcionális `reset` és naplótörlés.
- **Élő grafikon és gyorshivatközösök:** valós idejű összáram és szimulátoronkénti külön görbe, közvetlen linkek is itt találhatóak meg a /status, /metrics, Prometheus, Grafana nézetekhez.



9.2. ábra. Devpanel v2

9.7.3. Felépítés és API változások

A Dev Panel backend része új végpontokkal bővült, ezek:

- POST /api/run_scenario - teljes scenarió alkalmazása (küszöök + menetrendek + vezérlési opciók).
- GET/POST /api/read, /api/write - bemeneti állományok (txt) kezelése.
- POST /api/clear_output, POST /api/sim_state.
- GET /api/list_scenarios, GET /api/download_scenario, DELETE /api/delete_scenario.
- POST /api/reset_sim_time, GET /api/read_scenario, POST /api/save_scenario_json,

Az általam használt JSON séma a tesztek definiálására:

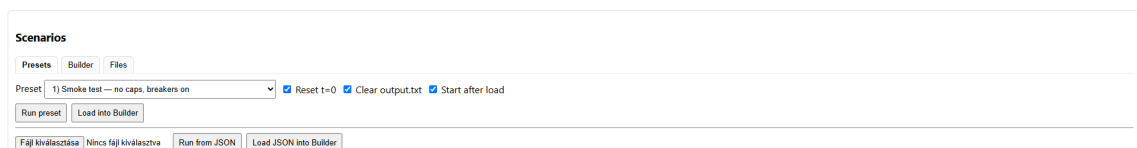
```
{  
    "name": "Demo",  
    "thresholds": {  
        "BREAKER_MAX_TOTAL": 12,  
        "BREAKER_MIN_TOTAL": 2,  
        "ALLOC_MAX_TOTAL": 9  
    },  
    "schedules": {  
        "esp1": [[0, 50], [60, 10]],  
        "esp2": [[0, 50], [60, 10]],  
        "esp3": [[0, 50], [60, 100]]  
    },  
    "control": {  
        "reset_time": true,  
        "clear_output": true,  
        "start_after_load": true  
    }  
}
```

A /api/run_scenario hívás menete:

1. sim_control.txt → STOPPED.
2. Opcionálisan lehet törölni az output.txt tartalmát, szimulátor időket resetálni *reset*.
3. thresholds.txt, esp{1..3}_schedule.txt újra írása.
4. Végállapot a futattás után: RUNNING vagy STOPPED (beállítástól függően).

9.7.4. UI szervezés (*Scenarios* kártya)

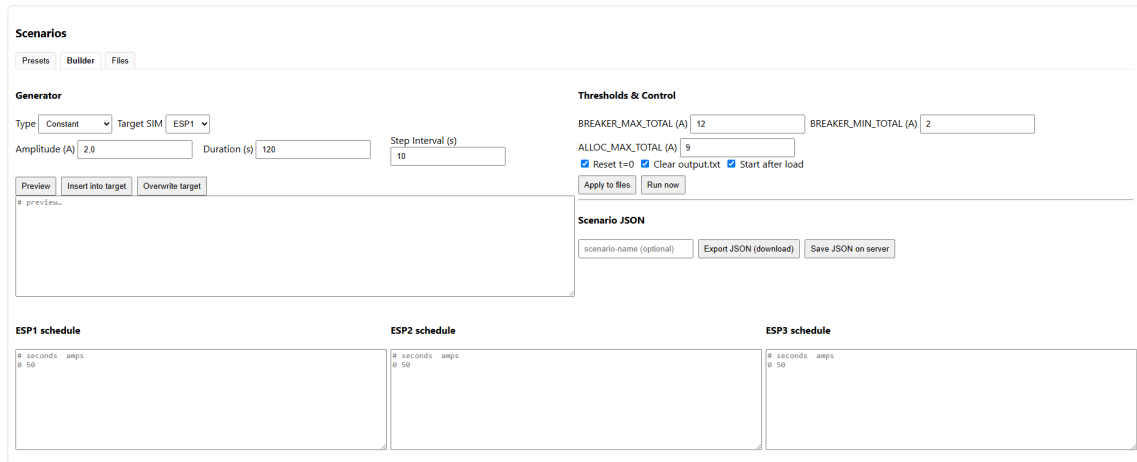
Presets. Előre definiált demókat tartalmaz (smoke test, under budget, fair split 3/3/3, dinamikus újraelosztás, hiszterézis, STOPPED invariánsok) Ezek futtathatók az említett opciókkal: *Reset t=0*, *Clear output.txt*, *Start after load*. Külső JSON is betölthető/futtatható.



9.3. ábra. Devpanel Presets fül

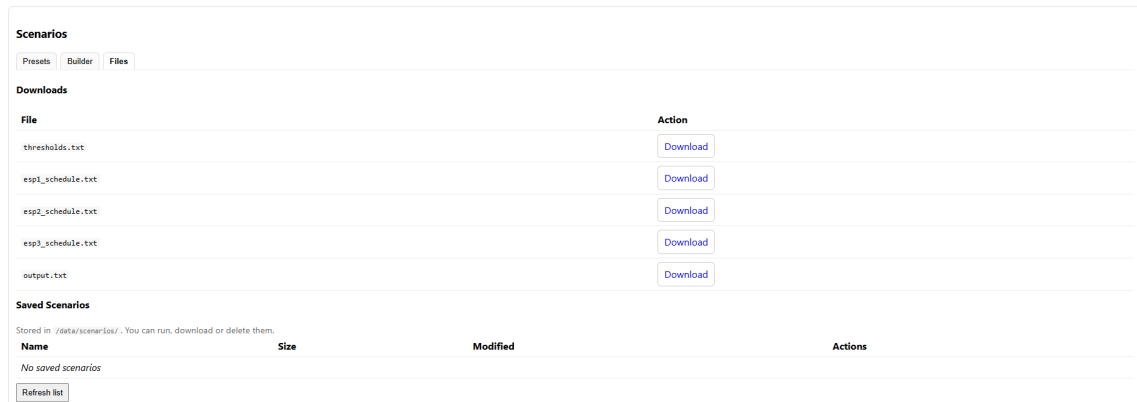
Builder. Max értékek (BREAKER_MAX_TOTAL, BREAKER_MIN_TOTAL, ALLOC_MAX_TOTAL) és vezérlési opciók mellett szerkesztőablakok a menetrendekhez. Különböző menetrend típusok választhatóak (állandó, rámpa, lépcső, szinusz, random walk) *Insert/Overwrite* móddal. Kettő opció van ezután:

- *Apply to files*: csak fájlok írása (nem indul a szimuláció).
- *Run now*: fájlok írása és azonnali futtatás az opciók szerint.



9.4. ábra. Devpanel Builder füл

Files. Gyors letöltések a txt-állományokhoz, illetve a szerveren tárolt scenariók listája (futtatás, letöltés, betöltés a Builderbe, törlés).



9.5. ábra. Devpanel Files füл

9.7.5. Használati munkafolyamat

A kipróbáláshoz javasolt lépések folyamata:

1. *Presets*: kiválasztás → opciók (*Reset/Clear/Start*) → *Run preset*.
2. *Builder*: menetrend generálása/szerkesztése → *Run now*.

3. *Export/Save*: scenarió JSON letöltése vagy mentése saját gépre vagy a szer-verre későbbi felhasználás céljából.
4. *Files*: output.txt letöltése eredmények tárolásához.

10. fejezet

Rendszertesztek és bemutató szcenáriók

10.1. Tesztek megvalósítása

A cél itt annak igazolása volt, hogy a rendszer komponensei megfelelően működnek. A vizsgálat során *idősoros* bemeneti és kimeneti fájlt (*thresholds.txt*) használtam. Ebben az esetben a kontrollciklus periódusa $T_c = 3\text{ s}$.

Mérőszámok és ellenőrzési pontok:

- **Mérőnkénti tényleges áram** (effective) ez nem az igényelt hanem a ténylegesen megkapott áramerősség, a vezérlő /status végpontján és az *output.txt*-ben.
- **Összáram** A Mérőnkénti tényleges áramok összege (*sum_current_amps*)
- **Korlátok (cap)**: az allokált teljesítmény a végpontokon (max–min fair) eredményei.
- **Küszöbök**:
 - **ALLOC_MAX_TOTAL** - Ez a teljes teljesítmény keret, amit a vezérlő ki tud osztani, a kiosztott áramok összege legfeljebb ennyi lehet.
 - **BREAKER_MAX_TOTAL** - A védelem kapcsolásának küszöbe, ha az összáram meghaladja ezt az értéket, a megszakítók lekapcsolnak (OFF).
 - **BREAKER_MIN_TOTAL** - A védelem automatikus visszakapcsolásának küszöbe, csak akkor kapcsol vissza (ON) a megszakító, ha az összáram ez alá csökken.
- **Megszakító állapot**: Itt csak on/off értéket figyelünk a védelmet ellátó megszakítókon.

Ezeket *output.txt* idősoros naplóban ellenőriztem, itt volt a legegyszerűbb, mert itt egy sor egy ciklus.

10.2. Bemenetek és állapot

- thresholds.txt:
 - BREAKER_MAX_TOTAL
 - BREAKER_MIN_TOTAL
 - ALLOC_MAX_TOTAL
 - Ezek fentebb említett módon kerülnek használatra.
 - idő - áramerősség párokat tartalmazzó menetrendek minden végponthoz:
 - esp1_schedule.txt
 - esp2_schedule.txt
 - esp3_schedule.txt
 - sim_control.txt:
 - RUNNING a szimulációhoz használt mérők belső órája megy
 - STOPPED a szimulációhoz használt mérők belső órája megáll
- alapértelmezés: STOPPED.

10.3. Várt viselkedés

1. Ha $\sum_i d_i \leq \text{ALLOC_MAX_TOTAL}$: nincs korlát, ezért $\text{effective}_i = d_i$ minden mérőre és az összáram egyszerűen $\sum_i d_i$. Ilyenkor a vezérlő nem „oszt újra”, a kiosztás megegyezik az igényekkel és a megszakító-logika csak akkor lép működésbe, ha az összáram véletlenül mégis átlépi a védelmi küszöböt.
2. Ha $\sum_i d_i > \text{ALLOC_MAX_TOTAL}$: max-min fair elosztás lép életbe, vagyis egy λ szintet keresünk úgy, hogy $a_i = \min\{d_i, \lambda\}$ és $\sum_i a_i = \text{ALLOC_MAX_TOTAL}$. Azok a mérők, amelyek igénye $d_i \leq \lambda$, teljes igényüket megkapják, a nagyobb igényűek pedig λ -nál „levágódnak”, a vezérlő ezt 3 s-onként újraszámolja, így ha szabadul fel kapacitás ez automatikusan átcsoportosul.
3. Megszakító: ha az összáram sum $\geq \text{BREAKER_MAX_TOTAL}$, a megszakító kikapcsol (védelmi leoldás) és csak akkor kapcsol vissza, ha sum $\leq \text{BREAKER_MIN_TOTAL}$.
4. STOPPED állapotban a virtuális idő nem halad, a vezérlő nem küld új korlátokat és nem ad megszakító-parancsokat, ilyenkor a bemeneti fájlok szabadon szerkeszthetők, és a következő RUNNING ciklus kezdetekor az új konfiguráció lép életbe, ha ez be van kattintva időnullázással és naplóürítéssel.

10.4. Szcenáriók és elfogadási kritériumok

10.4.1. Alaptesztek: Start/Stop/Reset/Clear

Az első teszt a vezérlő és a szimulációs környezet alapvető funkcióinak (indítás, leállítás, újraindítás) működését validálja. Itt a cél annak ellenőrzése, hogy a rendszer alapállapotban stabil, a vezérlő parancsokra megfelelően reagál. A bemeneti paramétereket szándékosan úgy állítottam be, hogy ne lépj fel semmilyen áramkorlátozás vagy megszakítási esemény, így itt kizárolag az alapvető vezérlés ellenőrzésén van a hangsúly.

Bemenetek:

- BREAKER_MAX_TOTAL=12
- BREAKER_MIN_TOTAL=2
- ALLOC_MAX_TOTAL=30
- ESP1=1,0 A
- ESP2=1,5 A
- ESP3=0,5 A

Miért ez a beállítás? Az igények összege $1,0 + 1,5 + 0,5 = 3,0$ A \ll ALLOC_MAX_TOTAL, ezért nem várható korlátozás: $\text{effective}_i = d_i$.

Lépések és jelentésük:

1. **STOP** — a sim_control.txt STOPPED-ra állítása, a vezérlő nem küld új korlátotokat és nem is kapcsol megszakítót.
2. **Reset $t=0$** — minden szimulátor idejét nullázzuk, a szimuláció elejéről kezdünk.
3. **START** — a vezérlő elindul, a következő ciklusban kiírja az állapotot és állítja a korlátokat, de ebben az esetben nem kell.
4. (*Opcionális*) *Clear output.txt* törölhető a napló amennyiben tiszta fájlt szeretne valaki látni.

Várt rendszerállapot

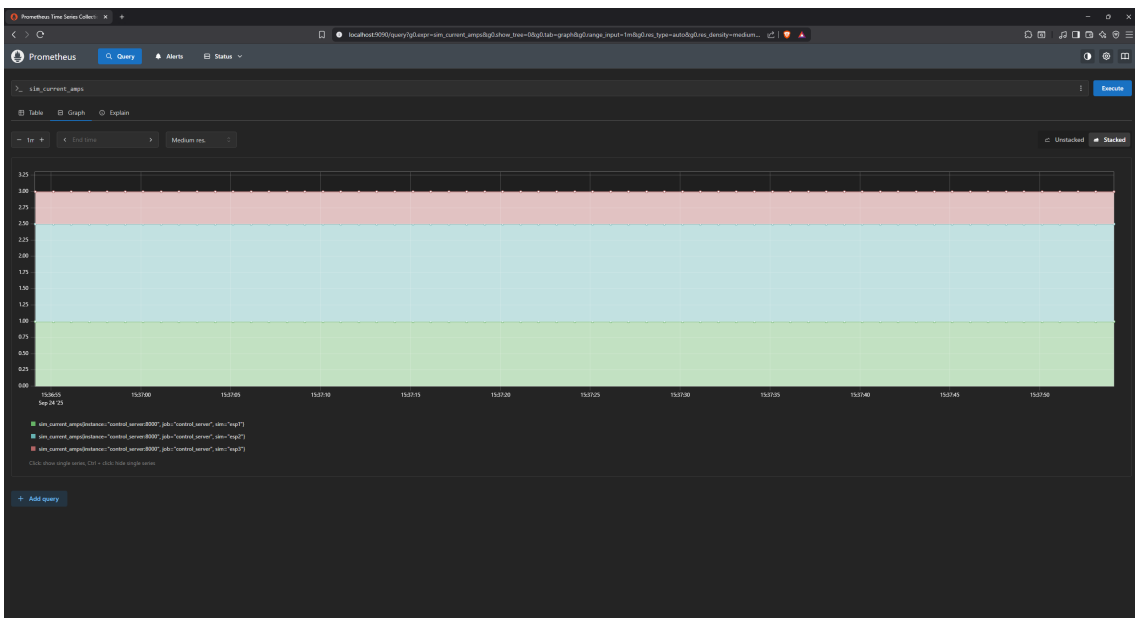
- *Nincs korlát*: $\text{effective}_{1,2,3} = \{1,0; 1,5; 0,5\}$ A, a korlátokat nagy értékek ($\sim 10^9$) jelölik.
- *Összáram*: sum_current_amps $\approx 3,0$ A stabilan, ez így vízszintes vonal az elő grafikonon.
- *Megszakító*: bekapcsolt állapotban van, mert $3,0 < \text{BREAKER_MAX_TOTAL} = 12$ és $3,0 > \text{BREAKER_MIN_TOTAL} = 2$.

Hol ellenőrizhető?

- output.txt: 3 s-onként új sor, pl.:

```
sim_state=RUNNING sum_current_amps=3.0
sims=esp1:raw=1.0,effective=1.0,cap=1e9|esp2:raw=1.5,
effective=1.5,cap=1e9|esp3:raw=0.5,effective=0.5,cap=1e9
breakers=brk1:on,brk2:on
```

Siker kritérium: A grafikon 3 A változatlan értékű görbét mutat az output.txt-ből ugyanezt tudjuk kiolvasni, hogy $\text{effective}_i = d_i$, korlátok nincsenek érvényben, a megszakítók be vannak kapcsolva ez 1-2 ciklus (3-6 s) után stabilan látszik.



10.1. ábra. Alaptesztek

10.4.2. Alulterhelés: nincs korlátozás

Ebben a tesztben azt a normál körülmények között is előforduló esetet vizsgálom, amikor a fogyasztói igények összege ($\sum d_i$) kevesebb, mint a maximálisan engedélyezett teljes fogyasztható áram. Itt a cél annyi, ellenőrizni kell, hogy a vezérlő helyesen ismeri fel az alulterhelt állapotot, és nem aktivál semmilyen korlátozási mechanizmust. A várt működés, hogy minden fogyasztó a teljes igényelt áramát kapja meg ($\text{effective}_i = d_i$), és a megszakítók is bekapcsolt állapotban maradnak, mivel a terhelés a megengedett szávon belül van.

Bemenetek:

- ALLOC_MAX_TOTAL=6
- BREAKER_MAX_TOTAL=12
- BREAKER_MIN_TOTAL=2
- ESP1=2,0 A

- $\text{ESP2}=1,5 \text{ A}$
- $\text{ESP3}=0,5 \text{ A}$

Miért ez a beállítás? Az igények összege $2,0 + 1,5 + 0,5 = 4,0 \text{ A} \leq \text{ALLOC_MAX_TOTAL} = 6$, ezért nem indul korlátozás (max–min fair kiosztásra nincs szükség), így $\text{effective}_i = d_i$. A 4,0 A az BREAKER_MIN és BREAKER_MAX között van, ezért a megszakítók bekapcsolt állapotban maradnak.

Lépések és jelentésük:

1. **START** — a vezérlő elindul, és kiírja az állapotot, mivel $\sum d_i \leq \text{ALLOC_MAX}$, a korlátokat nem kell érvényesíteni.
2. **Várakozás ~ 2 ciklus** — 6–7 s múlva a naplóban stabilan láthatóak a beállítások.

Várt rendszerállapot

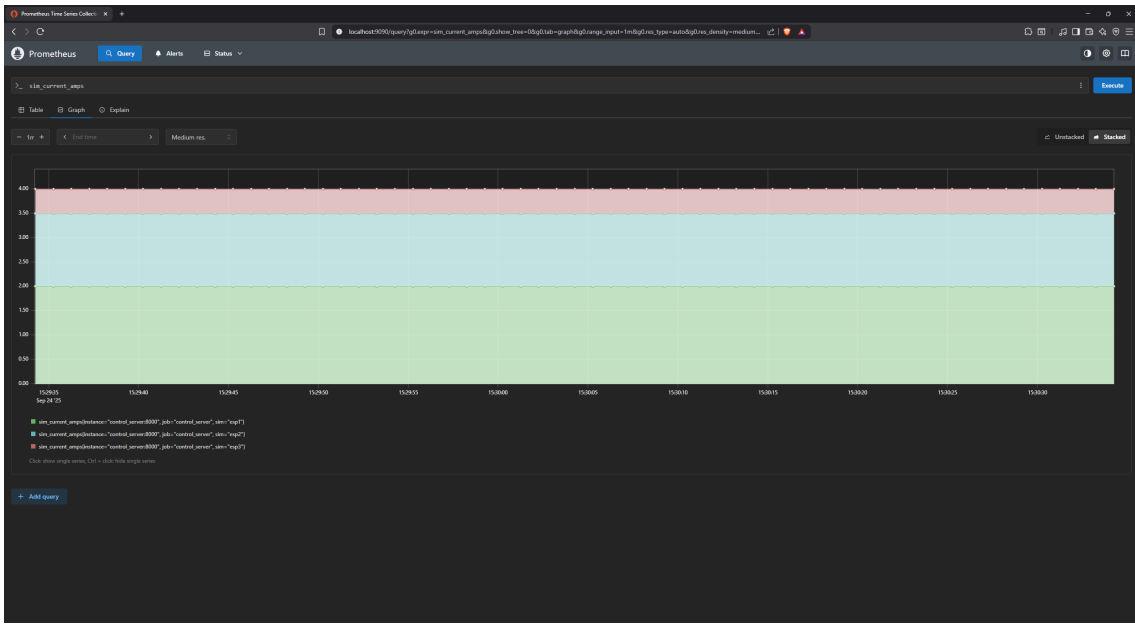
- *Nincs korlát:* $\text{effective}_{1,2,3} = \{2,0; 1,5; 0,5\} \text{ A}$, a korlátok nagy értékekkel ($\sim 10^9$) jelzik a „nincs limit” állapotot.
- *Összáram:* $\text{sum_current_amps} \approx 4,0 \text{ A} \Rightarrow$ vízszintes vonal az élő grafikonon.
- *Megszakító:* bekapcsolva, mert $4,0 < \text{BREAKER_MAX_TOTAL} = 12$ és $4,0 > \text{BREAKER_MIN_TOTAL} = 2$.

Hol ellenőrizhető?

- `output.txt`: 3 s-onként új sor, pl.:

```
sim_state=RUNNING sum_current_amps=4.0
sims=esp1:raw=2.0,effective=2.0,cap=1e9|esp2:raw=1.5,
      effective=1.5,cap=1e9|esp3:raw=0.5,effective=0.5,cap=1e9
breakers=brk1:on,brk2:on
```

Siker kritérium: az élő grafikon 4 A vízszintes görbét mutat, az `output.txt` egyezően jelzi, hogy $\text{effective}_i = d_i$, korlát nincs érvényben, a megszakítók be vannak kapcsolva minden 1–2 ciklus (3–6 s) után stabilan látszik.



10.2. ábra. Alulterhelt eset

10.4.3. Túlterhelés, azonos igények: fair 3/3/3 allokáció

Itt jelentős túlterhelést vizsgálunk, az összesített igény (150 A) ez nagyon meghaladja a globális allokációs keretet (9 A). A teszt célja, hogy ellenőrizze a "max-min fair" elosztási algoritmus helyes működését. A forgatókönyv lényege, hogy minden fogyasztó azonos, a keretnél jóval magasabb igénnyel jelentkezik, így a várt eredmény egy tökéletesen egyenlő, 3 A-es elosztás a fogyasztók között.

Bemenetek:

- ALLOC_MAX_TOTAL=9
- BREAKER_MAX_TOTAL=12
- BREAKER_MIN_TOTAL=2
- ESP1=50 A
- ESP2=50 A
- ESP3=50 A

Miért ez a beállítás? Az igények összege $50 + 50 + 50 = 150 \text{ A} \gg \text{ALLOC_MAX_TOTAL} = 9$, ezért a max-min fair elosztás: egy közös λ szintet keresünk úgy, hogy $a_i = \min\{d_i, \lambda\}$ és $\sum a_i = 9$. Azonos igények mellett $\lambda = 9/3 = 3 \text{ A}$, tehát minden mérő 3 A-t kap.

Lépések és jelentésük:

1. **START** — a vezérlő elindul, kiszámítja λ -t és beállítja a korlátokat.
2. **Várakozás ~ 2 ciklus** — 6 s alatt a napló stabilan tükrözi a 3/3/3 kiosztást.

Várt rendszerállapot

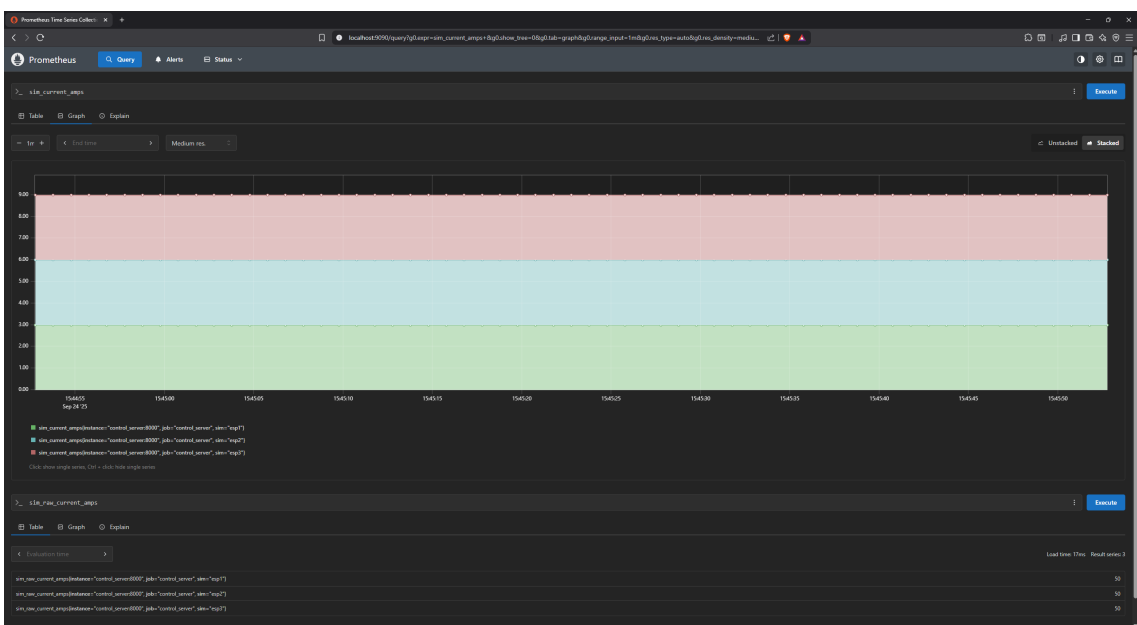
- *Korlátok*: minden mérőnél $\text{cap} = 3 \text{ A}$; $\text{effective}_{1,2,3} = \{3, 3, 3\} \text{ A}$.
- *Összáram*: $\text{sum_current_amps} = 3+3+3 = 9 \text{ A} \Rightarrow$ egyenes vonal a grafikonon.
- *Megszakító*: bekapcsolva, mert $9 < \text{BREAKER_MAX_TOTAL} = 12$ és $9 > \text{BREAKER_MIN_TOTAL} = 2$.

Hol ellenőrizhető?

- `output.txt`: 3 s-onként új sor, pl.:

```
sim_state=RUNNING sum_current_amps=9.0
sims=esp1:raw=50.0,effective=3.0,cap=3.0|esp2:raw=50.0,
effective=3.0,cap=3.0|esp3:raw=50.0,effective=3.0,cap=3.0
breakers=brk1:on,brk2:on
```

Siker kritérium: az élő grafikon három, közel azonos (3 A) szintet és 9 A összáramot mutat, az `output.txt` $\text{cap} = 3 \text{ A}$ értéket jelez minden mérőnél, a megszakítók bekapcsolva vannak minden 2 ciklus (6 s) után stabil.



10.3. ábra. Túlterhelt eset

10.4.4. Dinamikus újraelosztás: a nagy felhasználó kap teret

Ez a teszt a dinamikus viselkedést vizsgálja. A cél annak demonstrálása, hogy a rendszer nemcsak statikus túlterhelést tud kezelni, hanem képes valós időben reagálni a fogyasztói igények drasztikus változására is. Ez a forgatókönyv azt modellezi, ahogy egyes fogyasztók igénye lecsökken, a felszabaduló kapacitást pedig a rendszer automatikusan és a "max-min fair" elvnek megfelelően újraosztja egy másik, nagy igénnyel jelentkező fogyasztóhoz, miközben az összáram végig a globális kereten belül marad.

Bemenetek:

- ALLOC_MAX_TOTAL=90
- BREAKER_MAX_TOTAL=120
- BREAKER_MIN_TOTAL=10
- Menetrendek:
 - ESP1: 0 s → 50 A, 60 s → 10 A
 - ESP2: 0 s → 50 A, 60 s → 10 A
 - ESP3: 0 s → 50 A, 60 s → 100 A

Miért ez a beállítás? Az elején az igények azonosak (50, 50, 50 A), ez túl nagy a 90 A kerethez képest, ezért *fair* elosztás lép életbe: [30, 30, 30] A. Egy idő után két mérő visszaesik 10 A-ra, a harmadik 100 A-t kér; a felszabaduló 80 A-ból a keret kitöltéséhez a harmadik kap 70 A-t, így [10, 10, 70] A lesz a kiosztás.

Lépések és jelentésük:

1. **Reset** $t=0$ — szinkron kezdet mindenki biztosan 0-ról indul.
2. **START** — a vezérlő 3 s-os ciklusokban számolja újra az allokációt, a $t = 60$ s utáni váltás az ezt követő ciklusban fog megjelenni.
3. **Megfigyelés** 0..80 s — várjuk $t = 60$ s-nél az újra osztást a grafikonon.

Várt rendszerállapot

- 0..60 s: tényleges értékek [30, 30, 30] A, összáram = 90 A.
- 60+ s: ténylegesek [10, 10, 70] A, összáram = 90 A (a két kicsi igény teljesül, a maradék, pedig a nagyhoz kerül).
- *Megszakító*: végig be van kapcsolva, mert $90 < \text{BREAKER_MAX} = 120$ és $90 > \text{BREAKER_MIN} = 10$.

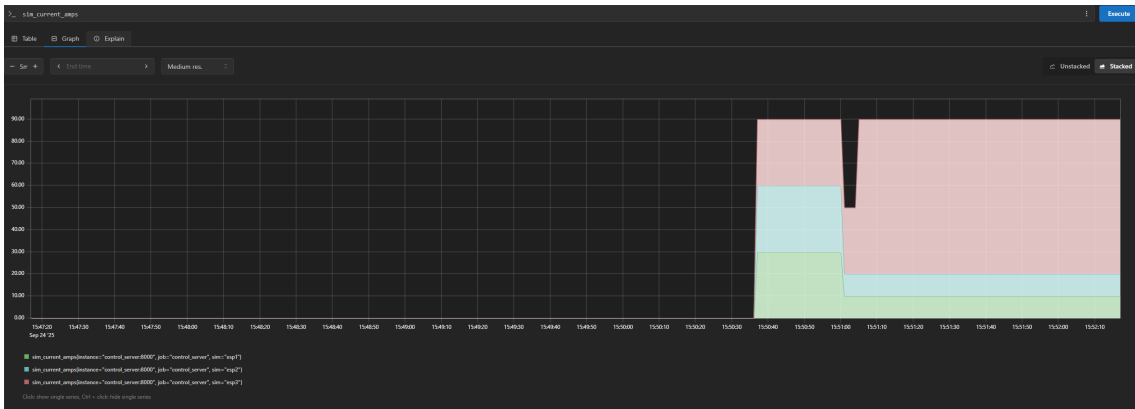
Hol ellenőrizhető?

- output.txt: 3 s-onként új sor; jellemző minták:

```
# t=3s (elso szakasz)
sim_state=RUNNING sum_current_amps=90.0
sims=esp1:raw=50.0,effective=30.0,cap=30.0|esp2:raw=50.0,
effective=30.0,cap=30.0|esp3:raw=50.0,effective=30.0,cap=30.0
breakers=brk1:on,brk2:on

# t=63s (masodik szakasz, igényváltozás utan)
sim_state=RUNNING sum_current_amps=90.0
sims=esp1:raw=10.0,effective=10.0,cap=10.0|esp2:raw=10.0,
effective=10.0,cap=10.0|esp3:raw=100.0,effective=70.0,cap=70.0
breakers=brk1:on,brk2:on
```

Siker kritérium: a grafikon két állapotba áll be: előbb 30/30/30 A, majd a $t = 60$ s után 10/10/70 A, az összáram végig 90 A, a megszakítók végig bekapcsolva maradnak.



10.4. ábra. Dinamikus újraelosztás áramerősségek



10.5. ábra. Dinamikus újraelosztás igények

10.4.5. Megszakító hiszterézis

Itt ebben a tesztnél a megszakító vezérlési logikáját vizsgálom. A cél annak megmutatása, hogy a rendszer helyesen kezeli a kétlépcsős kapcsolást: a megszakító leold, ha az összáram meghaladja a felső küszöbértéket (BREAKER_MAX_TOTAL), de csak akkor kapcsol vissza, ha az áramfelvétel egy másik alacsonyabb érték (BREAKER_MIN_TOTAL) alá esik. Ez a viselkedés biztosítja, hogy a rendszer stabil, sűrű ki-be kapcsolás nem lesz a határérték körüli terhelésingadozás esetén sem. A teszt során az allokációs korlátozás szándékosan nem aktív.

Bemenetek:

- ALLOC_MAX_TOTAL=50
- BREAKER_MAX_TOTAL=6
- BREAKER_MIN_TOTAL=3
- Menetrendek:
 - ESP1: 0 s → 2,0 A, 40 s → 0,5 A
 - ESP2: 0 s → 5,0 A, 40 s → 0,5 A

- ESP3: 0 s → 0,0 A

Miért ez a beállítás? Kezdetben az összáram $2,0 + 5,0 + 0,0 = 7,0$ A, ami nagyobb, mint BREAKER_MAX_TOTAL = 6 A, ezért a megszakító leold, 40 s után a terhelések $0,5 + 0,5 + 0,0 = 1,0$ A-ra esnek, ami kisebb, mint BREAKER_MIN_TOTAL = 3 A, így a megszakító visszakapcsol. Az ALLOC_MAX_TOTAL=50 A bőven a terhelések fölött van, ezért allokációs korlátozás nem várható.

Lépések és jelentésük:

1. **Reset $t=0$** — szinkron indulás.
2. **START** — a vezérlő 3 s-os ciklusokban értékeli ki az adatokat. Az első ciklusban a ≥ 6 A miatt ki van kapcsolva, a 40 s utáni első ciklusban a ≤ 3 A miatt bekapcsol.
3. **Megfigyelés 0..60 s** — a naplóban egy off → on átmenet látszik 40 s-nél.

Várt rendszerállapot

- 0..40 s: összáram $\approx 7,0$ A ⇒ megszakító kikapcsolva.
- 40+ s: összáram $\approx 1,0$ A ⇒ megszakító bekapcsolva.
- *Allokáció*: nincs korlát (nagy szám), mert $\sum d_i \ll \text{ALLOC_MAX_TOTAL}$.

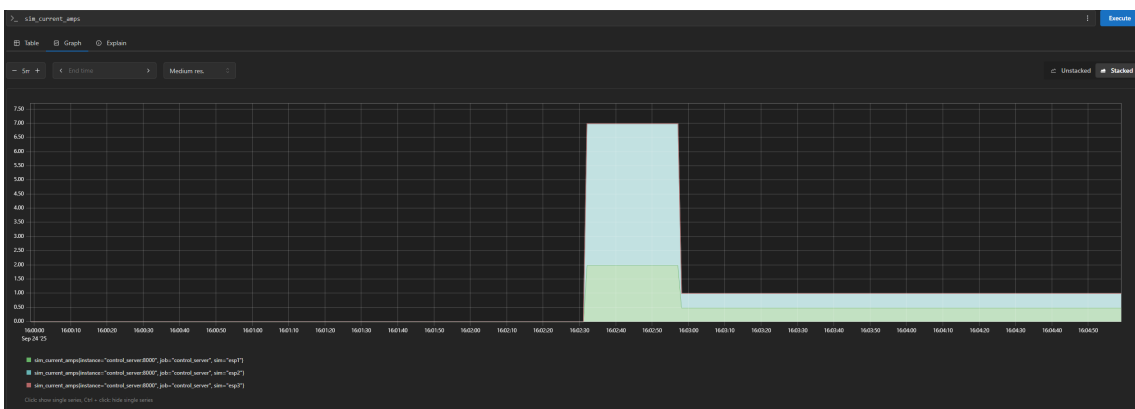
Hol ellenőrizhető?

- `output.txt`: 3 s-onként új sor; tipikus minták:

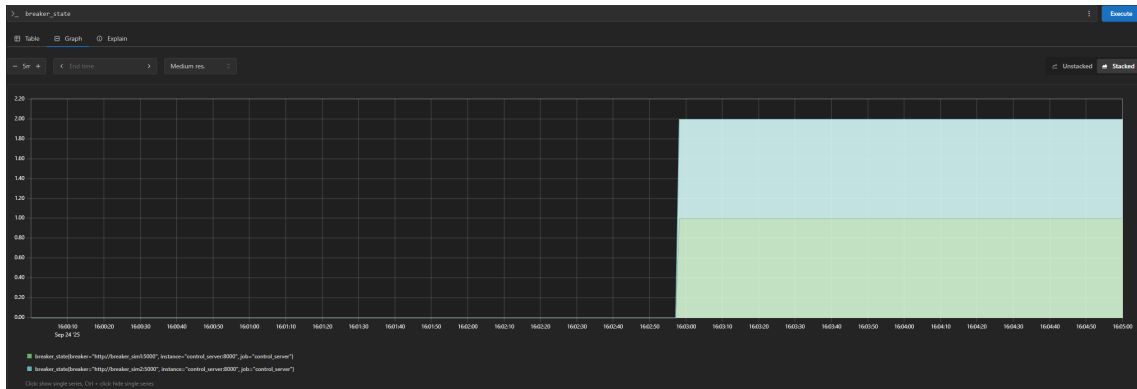
```
# t=3s (kezdeti szakasz)
sim_state=RUNNING sum_current_amps=7.0
sims=esp1:raw=2.0,effective=2.0,cap=1e9|esp2:raw=5.0,
effective=5.0,cap=1e9|esp3:raw=0.0,effective=0.0,cap=1e9
breakers=brk1:off,brk2:off

# t=42s (menetrendváltás utáni első ciklus)
sim_state=RUNNING sum_current_amps=1.0
sims=esp1:raw=0.5,effective=0.5,cap=1e9|esp2:raw=0.5,
effective=0.5,cap=1e9|esp3:raw=0.0,effective=0.0,cap=1e9
breakers=brk1:on,brk2:on
```

Siker kritérium: az élő grafikonon 0..40 s között ~ 7 A körüli összáram mellett kikapcsolt állapot látszik, 40 s után ~ 1 A mellett bekapcsolt, az `output.txt` ezt a off → on váltást 2-3 cikluson belül egyértelműen tükrözi.



10.6. ábra. Megszakító áramerősségek



10.7. ábra. Megszakító állapotok

10.4.6. Leállított mód (STOPPED)

Ez a teszt azt vizsgálja, hogy a vezérlő 'STOPPED' állapotban megfelelően viselkedik-e. A forgatókönyv igazolja, hogy a rendszer leállítása után a vezérlő valóban felfüggesztésre kerül, és a rendszer "befagyasztja" az utolsó ismert stabil állapotot. Annak ellenére, hogy a leállás alatt a háttérben a bemeneti konfigurációk (pl. allokációs keret) megváltoztatható, a teszt sikeres, ha a vezérlő nem reagál ezekre, nem számol új korlátokat, és nem frissíti a kimeneti naplót.

Bemenetek:

- Kiindulás: a 3. szcenárió stabil állapota
 - ALLOC_MAX_TOTAL = 9
 - BREAKER_MAX_TOTAL = 12
 - BREAKER_MIN_TOTAL = 2
 - effective = [3, 3, 3] A
 - sum = 9 A, megszakítók on
- Módosítások STOPPED állapot alatt *csak fájlba írva*:
 - ALLOC_MAX_TOTAL = 6
 - ESP1 menetrend 1,0 A

Miért ez a beállítás? A cél annak igazolása, hogy STOPPED módban a vezérlő *nem avatkozik be*: nem számol ad új korlátokat, nem kapcsol megszakítót, a virtuális idő nem halad és a napló is megáll.

Lépések és jelentésük:

1. **STOPPED** — a sim_control.txt STOPPED-re áll, a vezérlési ciklus megáll, nincs új allokáció vagy megszakítóparancs.
2. **Konfiguráció módosítása** — ALLOC_MAX_TOTAL = 6 és ESP1 1,0 A változtatások *mentése* (de ez még nem lép életbe).

3. Várakozás ~ 2 ciklusnyi időtartam — mivel a rendszer áll, nem várható új státusz- vagy naplósor.

Várt rendszerállapot

- *Korlátok és effektív értékek:* változatlanul [3, 3, 3] A (a leállítás előtti állapot szerint).
- *Megszakító:* változatlanul bekapcsolt állapotban van (nem történik átkapcsolás).
- *Idő és napló:* a virtuális idő nem halad, az output.txt nem bővül.

Hol ellenőrizhető?

- output.txt: az utolsó RUNNING sor után nem jelennek meg új bejegyzések STOPPED alatt, pl.:

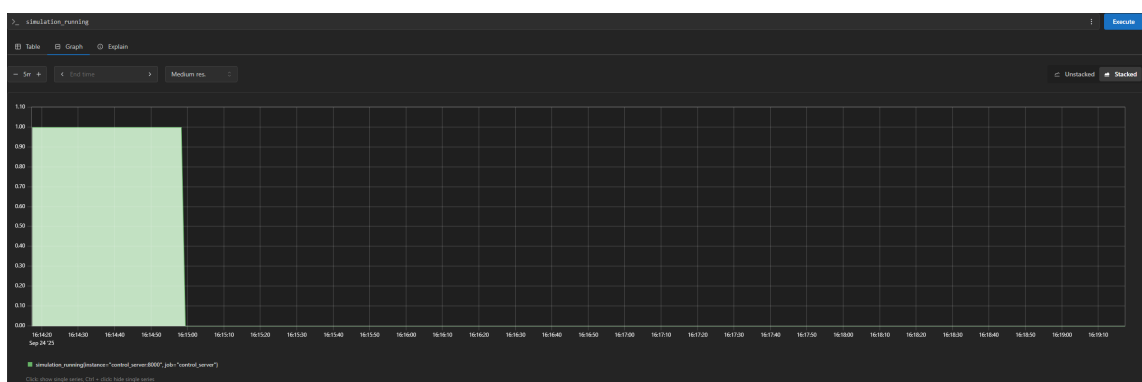
```
# utolsó sor STOPPED előtt
sim_state=RUNNING sum_current_amps=9.0
sims=esp1:raw=50.0,effective=3.0,cap=3.0|esp2:raw=50.0,effective=3.0,cap=3.0|esp3:raw=50.0,
      effective=3.0,cap=3.0
breakers=brk1:on,brk2:on

# STOPPED alatt nincs új sor
```

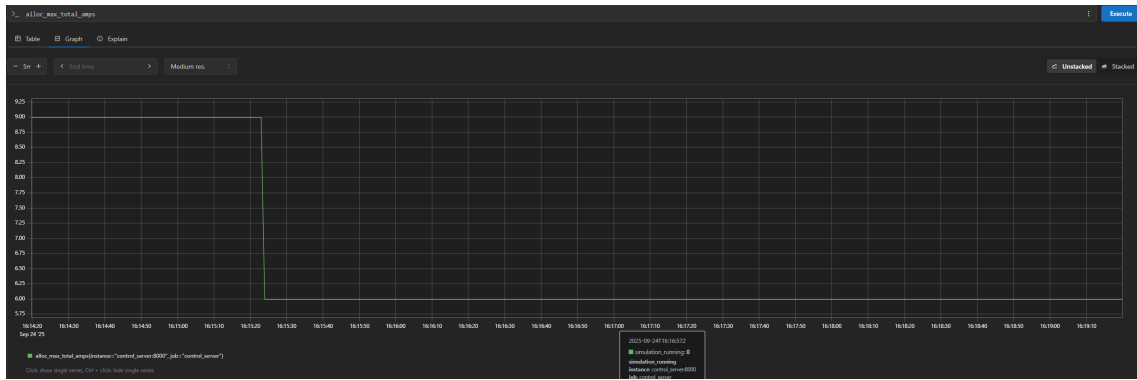
Siker kritérium: /status.sim_state=STOPPED, a korlátok és megszakító értékek megegyeznek a leállítás előtti állapottal és az output.txt nem bővül a vára-kozás ideje alatt.



10.8. ábra. stopped állapot áramerősségek



10.9. ábra. stopped állapot állapotok



10.10. ábra. stopped állapot maximális áramok

Összegzés

A tesztek ellenőrzik, hogy (i) az allokáció a max-min fair elvet követi-e, (ii) a megszakító hiszterézise a küszöbértékekhez képest működik-e, (iii) a STOPPED állapot működik-e, és (iv) a rendszer minden ciklusban önmagát leíró idősoros naplót állít elő. Ezek együttesen biztosítják az elvárt funkció nális helyességet és transzparens viselkedést.

11. fejezet

Összefoglalás és kitekintés

A dolgozat célja egy nyílt forrású, konténerizált energetikai felügyeletre képes keretrendszer tervezése volt, ami alacsony költségű végponti eszközöket (ESP8266 mérő), Python-on alapuló vezérlő komponenst, idősoros adattárolást (Prometheus) és ezenkívül vizualizációt (Grafana) tartalmaz. A rendszer az interfészeken szét választja a mérést és a döntéshozatalt, a beavatkozást pedig ipari protokollon (Modbus/TCP) keresztül valósítja meg a villamos hálózati eszközökön. Az üzemeltetési környezet teszt állapotban, ahogy én is használtam általában Docker Compose, nagyobb rendelkezésre állási igény esetén Kubernetes.

Eredmények és tanulságok. A szimulációs vizsgálatok azt mutatták, hogy a keretrendszer képes:

- a mért villamos mennyiségek folyamatos, Prometheus-kompatibilis exportjára és azok megjelenítésére
- determinisztikus beavatkozásra, vezetéknélküli hálózaton keresztül, ez gyors reagálást és reprodukálhatóságot biztosít
- globális áramkeret pontos követésére, adott esetben a túllépések gyors csillapítására és az erőforrások igazságos újraelosztására a max-min fair elv alapján
- skálázható, konténer-alapú üzemeltetésre, ami nagyban megkönnyíti a telepítést, a frissítést és a diagnosztikát.

Gyakorlati tapasztalat, hogy az egyszerű vezérlő rendszer fontosabb a túlbonyolított modellnél, a mérési zaj, a késleltetések és a végpontok nemlineáris viselkedése mellett a robosztus, determinisztikus vezérlő stabilabban teljesített. A komponensek laza csatolása és a metrika-alapú rendszer érdemben csökkenti a hibaelhárítás bonyolultságát.

A munka fő műszaki hozzájárulásai:

1. Egységesített mérési/vezérlési interfész energetikai rendszerekhez Prometheus-formátumú metrikákkal és REST és Modbus átalakítóval.
2. Max-min fair elosztású beavatkozási szabályozó integrációja ipari rendszerbe.
3. Konténer-alapú referenciaimplementáció Docker Compose vagy Kubernetes.

4. Grafana-alapú üzemeltetési, illetve diagnosztikai irányítópultok, előre tervezett riasztások és alap-telemetria.
5. Reprodukálható szimulációs rendszer, ami determinisztikusan teszteli a rendszer beállításait.

Korlátok és érvényességi fenegetések. A vizsgálatok kontrollált környezetben zajlottak; a terepi viszonyok (hálózati zavarok, különböző végponti firmware-ek, szélsőséges terhelési profilok) további kihívásokat jelenthetnek. A biztonsági réteg alapértelmezetten a helyi hálózatra és egyszerű hitelesítésre támaszkodik; nagyvállalati környezetben szükséges a végpont- és szolgáltatásoldali tanúsítványkezelés és kulcsforgatás beépítése. A Modbus/TCP protokoll korlátai (nincs beépített titkosítás, korlátozott hibakezelés) szintén megfontolandók.

Jövőbeli munka. A rendszer fejlesztésének lehetséges irányai:

- **Biztonság és megbízhatóság:** mTLS alapú végpont-hitelesítés, kulcsforgatás, jogosultságkezelés.
- **Protokoll-tágítás:** IEC 60870-5-104 / IEC 61850 gateway, illetve modern ipari mezőbuszok támogatása a heterogén eszközparkhoz.
- **Fejlettebb szabályozás:** modellprediktív vagy hibrid (MPC + max-min) vezérlő vizsgálata időkorlátos optimalizálásra, költség- és hálózati korlátok együttes kezelésére.
- **Edge-képességek:** lokális döntésképesség és *graceful degradation* hálózati problémák esetén, OTA frissítési csatorna az ESP eszközökre.
- **Megfigyelhetőség és üzemeltetés:** trace-alapú hibakeresés (OpenTelemetry), automatikus eszköz-felfedezés, konfiguráció- és verziókezelés.
- **Valós terepi pilot:** több, egymást zavaró terhelés és megosztott hálózati infrastruktúra mellett végzett hosszú távú mérések, SLA-k és üzemeltetési költségek becslésével.

Zárógondolat. Az elkészült keretrendszer egy átlátható, bővíthető és költséghatékony alapot ad az energetikai felügyeleti rendszer elkészítéséhez. Az egyszerű és robusztus szabályozási elvek, a metrika-központúság és a konténeres üzemeltetés együtt olyan eszköztárat alkotnak, ami ipari környezetekben is gyors bevezetést és megbízható működést tesz lehetővé.

Ábrák jegyzéke

2.1. Schneider Electric PME model[4]	4
2.2. Siemens EMS model[17]	5
3.1. A keretrendszer architektúrája és Kubernetes komponensei	9
3.2. Rendszerarchitektúra	11
3.3. NodeMCU (ESP8266) [15]	12
3.4. SCT-013 áramváltó [11]	12
3.5. Pinout [8]	13
3.6. Modbus adatstruktúra [10]	15
4.1. Water-filling elve telekomunikációban. [18]	17
5.1. Autótöltő [5]	21
5.2. Megszakító [6]	23
5.3. Prometheus [12]	23
5.4. Általam készített Grafana dashboard	27
7.1. Kubernetes architektúra [1]	32
7.2. Hibrid kubernetes topológia	35
8.1. Interfészek	37
9.1. Devpanel	42
9.2. Devpanel v2	43
9.3. Devpanel Presets fül	44
9.4. Devpanel Builder fül	45
9.5. Devpanel Files fül	45
10.1. Alaptesztek	50
10.2. Alulterhelt eset	52
10.3. Túlterhelt eset	53
10.4. Dinamikus újraelosztás áramerősség	55
10.5. Dinamikus újraelosztás igények	55
10.6. Megszakító áramerősség	56
10.7. Megszakító állapotok	57
10.8. stopped állapot áramerősség	58
10.9. stopped állapot állapotok	58
10.10 stopped állapot maximális áramok	59

Táblázatok jegyzéke

2.1. A tervezett rendszer összehasonlítása az ipari sztenderdekkel 7

Irodalomjegyzék

- [1] Mukhadin Beschokov: How to work with a kubernetes cluster? guide by wallarm, 2025. URL <https://www.wallarm.com/what/what-is-a-kubernetes-cluster-and-how-does-it-work>. Megnyitva: 2025-04-05.
- [2] Jean-Yves Le Boudec: Rate adaptation, congestion control and fairness: A tutorial. https://web.archive.org/web/20230422115954/https://icalwww.epfl.ch/PS_files/LEB3132.pdf, 2005. EPFL.
- [3] Docker Inc.: Deploy on kubernetes with docker desktop, 2025. URL <https://docs.docker.com/desktop/features/kubernetes/>. Megnyitva: 2025-04-05.
- [4] EcostruxureTM power monitoring expert. <https://www.se.com/hu/hu/product-range/65404-ecostruxure-power-monitoring-expert/#overview>, 2025. Megnyitva: 2025-03-17.
- [5] Schneider Electric: Charging station evlink, 2025. URL <https://www.se.com/hu/hu/product/EVB3S07NC0/charging-station-evlink-pro-ac-ac-metal-7-4kw-32a-1p+n-t2-attached-cable-rdcdd-6ma-mnx-aux-/>. Megnyitva: 2025-05-18.
- [6] Schneider Electric: Masterpact mtz product range, 2025. URL <https://www.se.com/hu/hu/product-range/63545-masterpact-mtz/#products>. Megnyitva: 2025-05-18.
- [7] electrofunsmart: Iot szerver prometheus és grafana monitorozással egy esp8266 esetén, 2025. URL <https://www.hackster.io/electrofunsmart/iot-server-with-prometheus-and-grafana-monitoring-a-esp8266-9e0661>. Megnyitva: 2025-03-25.
- [8] ElectronicWings: Nodemcu development kit/board, 2023. URL <https://www.electronicwings.com/nodemcu/nodemcu-development-kitboard>. Megnyitva: 2025-05-01.
- [9] Simply Explained: Home energy monitor esp32 ct sensor emonlib, 2025. URL <https://simplyexplained.com/blog/Home-Energy-Monitor-ESP32-CT-Sensor-Emonlib/>. Megnyitva: 2025-03-22.

- [10] Instrumentation Tools: Background of modbus ascii and rtu data frames, 2025. URL <https://instrumentationtools.com/background-of-modbus-ascii-and-rtu-data-frames/>. Megnyitva: 2025-03-25.
- [11] Mikroelektronik: Yhdc sct013 100a 1v felfüggesztés típusú osztott magos áramérzékelő, 2025. URL <https://mikroelektronik.hu/elektronikus-osszetevok/126660-yhdc-sct013-100a-1v-felfuggeszes-tipusa-osztott-magos-aramerzekelo.html>. Megnyitva: 2025-03-22.
- [12] Creator name or YouTube channel name if known: Title of video, 2025. URL https://www.youtube.com/watch?v=pcGg-U5d_n8. Megnyitva: 2025-03-25.
- [13] OpenEnergyMonitor: Interface with arduino, 2025. URL <https://docs.openenergymonitor.org/electricity-monitoring/ct-sensors/interface-with-arduino.html>. Megnyitva: 2025-03-22.
- [14] OpenEnergyMonitor: Emoncms: Open-source web application for energy, temperature and other environmental data visualisation. <https://emoncms.org/>. Elérés dátuma: 2025. november 18.
- [15] Darshil Patel: Getting started with nodemcu (esp8266) on arduino ide, 2020. URL <https://projecthub.arduino.cc/PatelDarshil/getting-started-with-nodemcu-esp8266-on-arduino-ide-b193c3>. Megnyitva: 2024-11-08.
- [16] Prometheus: Prometheus - dimenzionális adatok: kulcs-érték párokon alapuló modell, 2025. URL <https://prometheus.io/>. Megnyitva: 2025-03-25.
- [17] Simatic energy management software. <https://www.siemens.com/global/en/products/automation/industry-software/automation-software/energymanagement.html>, 2025. Megnyitva: 2025-03-17.
- [18] Jan Sláćík – Petr Mlynek – Martin Rusz – Petr Musil – Lukas Benesl – Michal Ptáček: Broadband power line communication for integration of energy sensors within a smart city ecosystem. *Sensors*, 21. évf. (2021) 10. sz., 3402. p. See Fig. 2 for the principle of the water-filling algorithm.
- [19] Erich Styger: Controlling an ev charger with modbus rtu, 2022. URL <https://mcuoneclipse.com/2022/12/31/controlling-an-ev-charger-with-modbus-rtu/>. Megnyitva: 2025-03-24.
- [20] TechTutorialsX: Esp8266 posting json data to a flask server on the cloud, 2017. URL <https://techtutorialsx.com/2017/01/08/esp8266-posting-json-data-to-a-flask-server-on-the-cloud/>. Megnyitva: 2025-03-24.
- [21] The Home Assistant Community: Home Assistant: Open-source home automation that puts local control and privacy first. <https://www.home-assistant.io/>. Elérés dátuma: 2025. november 18.

- [22] The Kubernetes Authors: Kubernetes documentation, 2025.
URL <https://kubernetes.io/>. Megnyitva: 2025-04-05.
- [23] Doc Walker: Modbusmaster: Arduino library for modbus communication, 2016.
URL <https://github.com/4-20ma/ModbusMaster>. Megnyitva: 2025-04-07.